

# Physique des Particules et Physique Nucléaire

PHYS-F305

Année 2024-2025

Première partie - L. Favart

IV - Les accélérateurs

# Contenu Chapitre IV

## IV. Les accélérateurs de particules

1. L'accélération
2. Accélérateurs linéaires (LINAC)
3. Cavités accélératrices radio fréquences
4. La focalisation
5. Accélérateurs circulaires: Synchrotrons
6. L'émittance
7. Le rayonnement synchrotron
8. Les complexes d'accélérateurs (CERN, HERA,...)
9. Les faisceaux secondaires

# Objectifs

1) pouvoir de résolution

$$\lambda(cm) = \frac{h}{p} = \frac{1.24 \cdot 10^{-10} \text{ MeV s}}{p[\text{MeV/c}]}$$

$\Delta x$ (cm)	énergie	domaine
$10^{-5}$	2 eV	microscope
$10^{-8}$	2 keV	rayons X
$10^{-11}$	$2 \text{ MeV} \simeq 40 m_e$	rayons $\gamma$
$10^{-14}$	$2 \text{ GeV} \simeq 2 m_p$	accélérateurs
$10^{-16}$	$200 \text{ GeV} \simeq 2 m_Z$	accélérateurs
$10^{-18}$	20 TeV	accélérateurs (limite actuelle)

2) création de nouvelles particules

$$p + p \rightarrow p + p + \pi^0 \quad \text{possible si} \quad s \geq (2m_p + m_{\pi^0})^2$$

# La luminosité

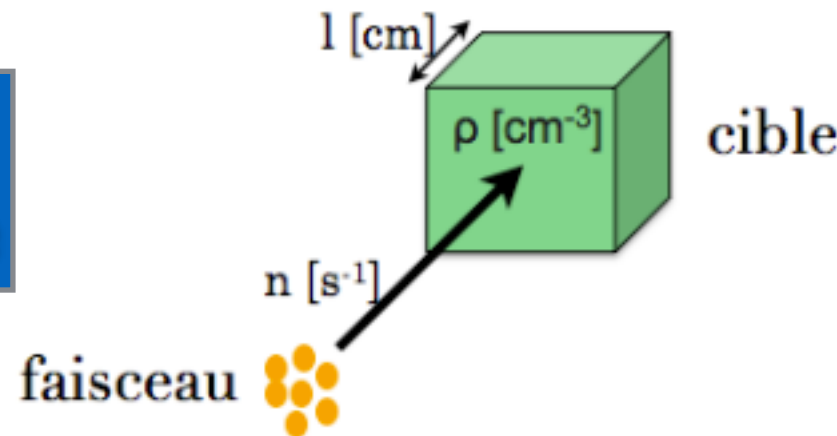
taux d'evt/s

$$n = \sigma \mathcal{L}$$

et la luminosité intégrée

$$N_{Tot} = \int dt \sigma \mathcal{L} = \sigma \mathcal{L}_{Tot}$$

**Mode cible fixe**



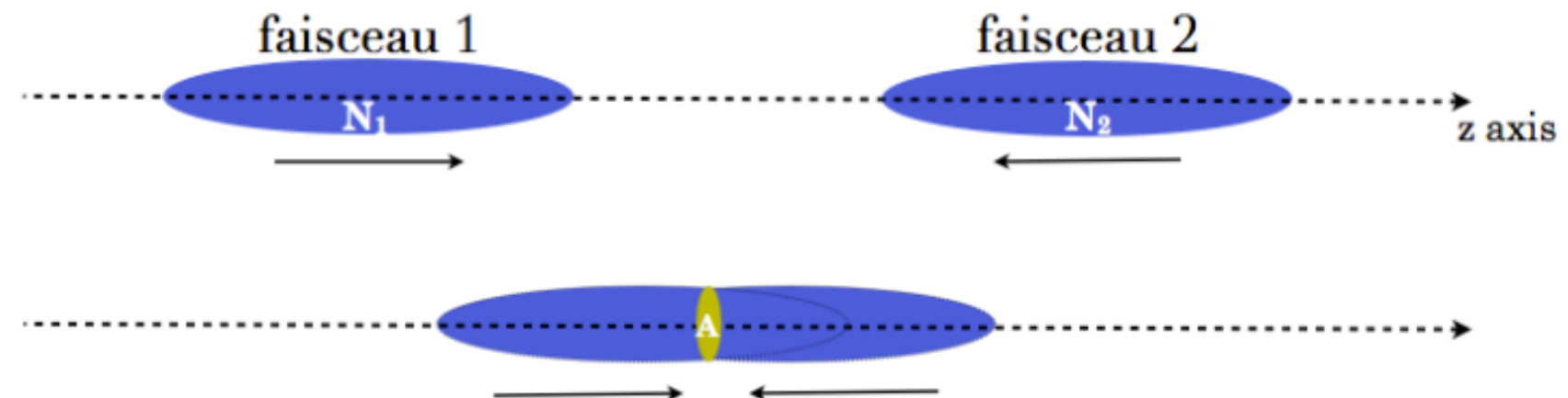
$$\mathcal{L} [cm^{-2}s^{-1}] = n \rho l$$

$\rho$  : densité de particules dans la cible ( $[cm^{-3}]$ )

$l$  : épaisseur de la cible ( $[cm]$ )

$n$  : taux de particule du faisceau ( $[s^{-1}]$ )

**Mode collisionneur**



$$\mathcal{L} = \frac{N_1 N_2 N_b f}{A} = \frac{N_1 N_2 N_b f}{4\pi \sigma_x \sigma_y}$$

↓  
profil gaussien

$N_1$  et  $N_2$  : nombre de particules par paquet des faisceaux

$N_b$  : nombre de paquets qui entrent en collision

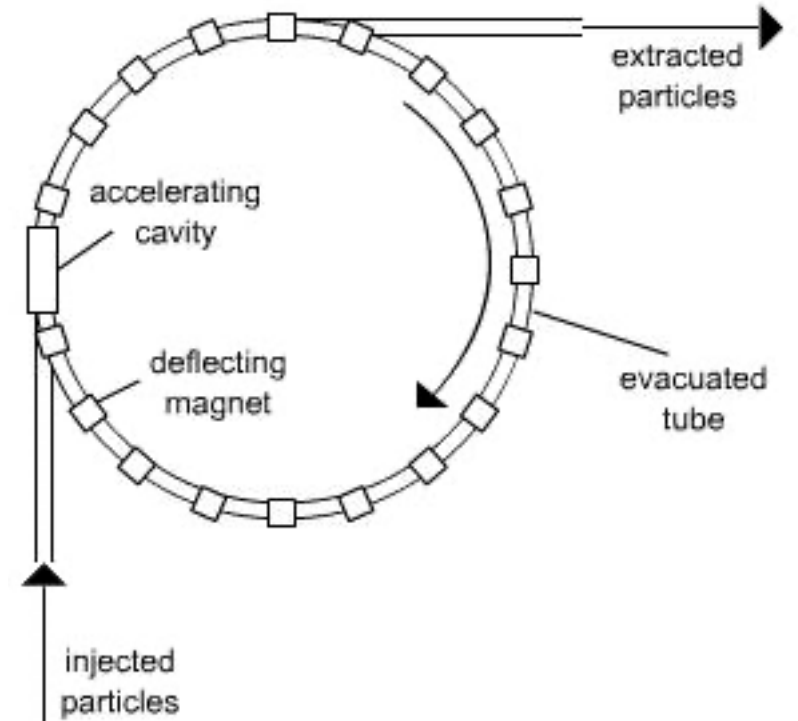
$f$  : fréquence de révolution  $[s^{-1}]$

$A$  : aire de l'ellipse de recouvrement des faisceaux  $[cm^2]$

# Principes de base

Les éléments de base d'un accélérateur sont :

1. la source : des particules stables ou des ions
2. un chambre à vide
3. un dispositif de guidage et de focalisation
4. un dispositif d'accélération
5. un cible (qui peut être un autre faisceau)
6. un système de contrôle
7. le blindage, pour protéger le personnel et le matériel des radiations



guidage, focalisation et accélération :

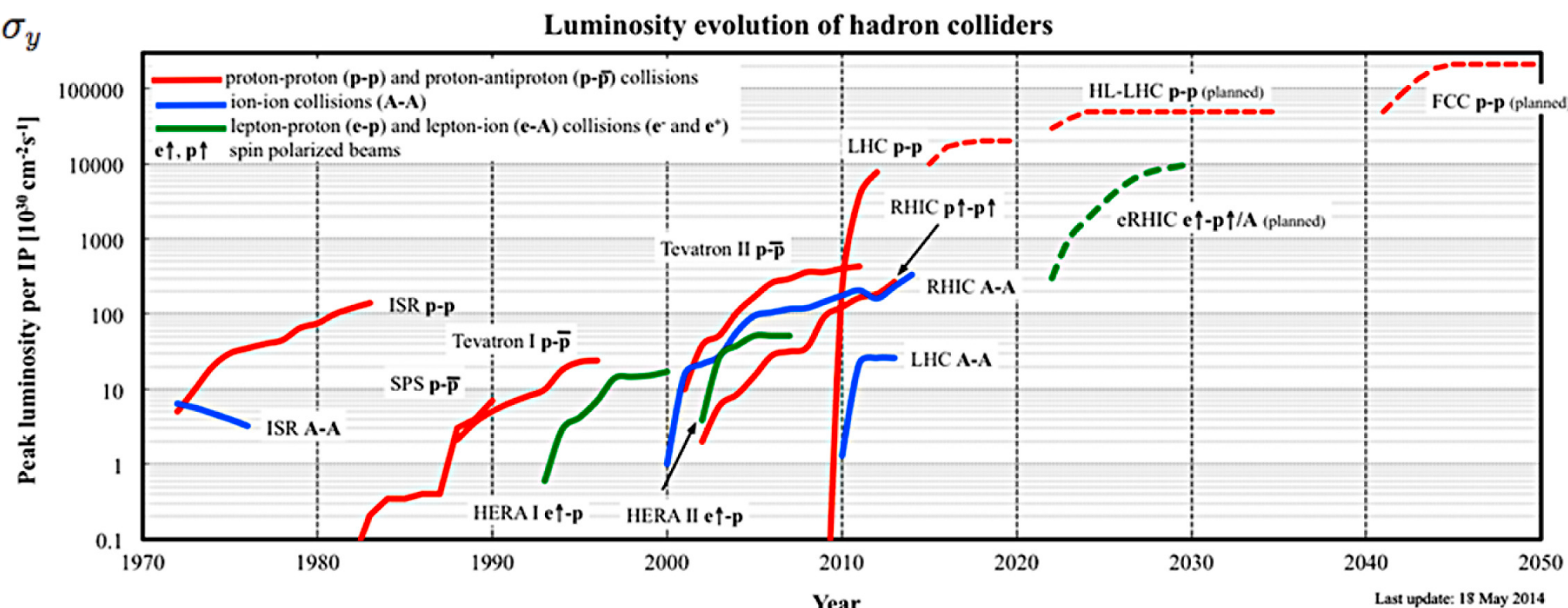
$$\vec{F} = q \vec{E} + q \vec{v} \times \vec{B}$$

$$\begin{aligned}\Delta E &= \int \vec{F} \cdot \vec{v} dt = q \int (\vec{E} + \vec{v} \times \vec{B}) \cdot \vec{v} dt \\ &= q \int \vec{E} \cdot \vec{v} dt \quad \text{seul } E \text{ permet d'accélérer les particules}\end{aligned}$$

# Principaux collisionneurs

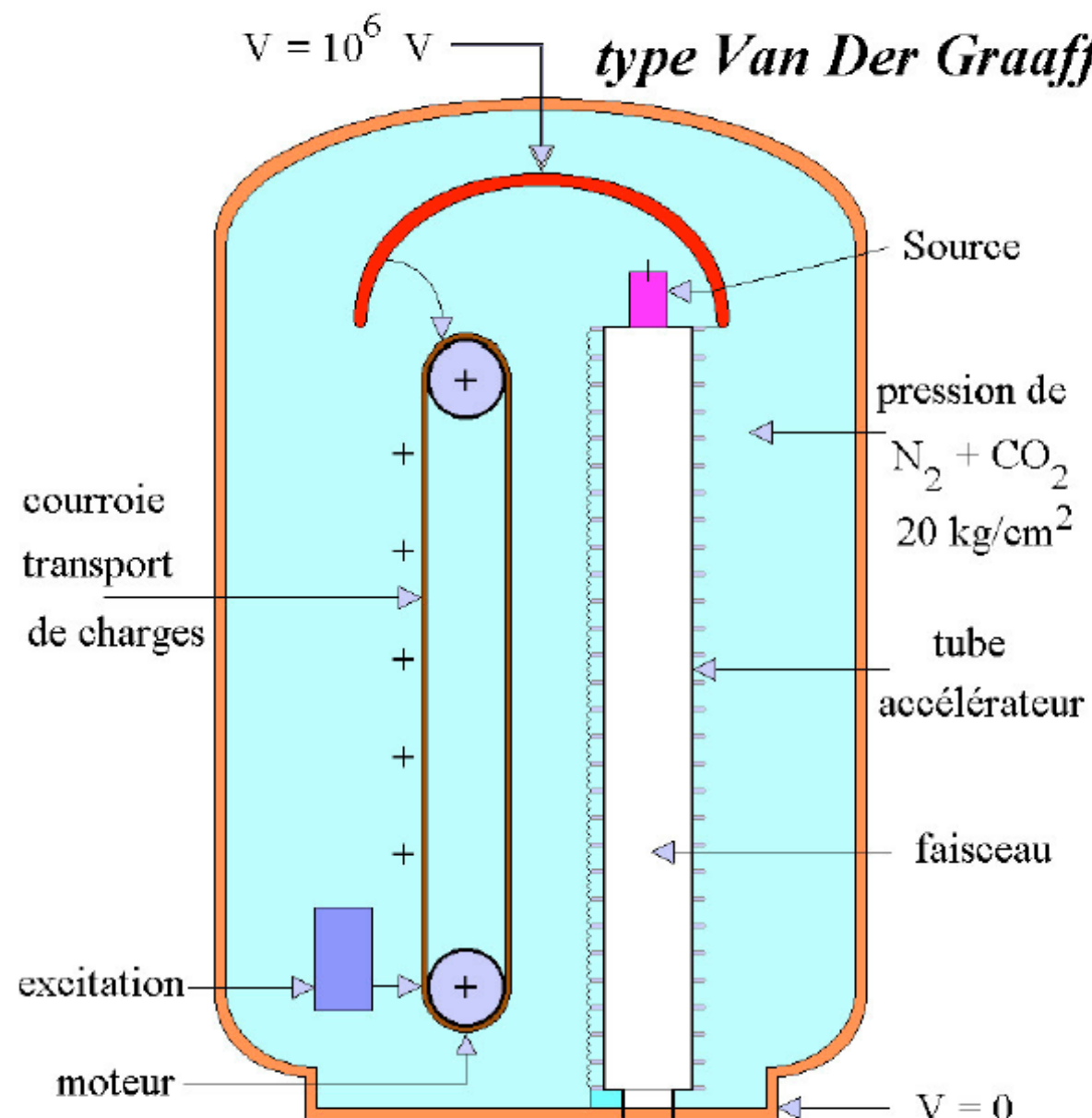
accélérateur	énergies [GeVxGeV]	$\mathcal{L}$ $[10^{30} \text{ cm}^{-2}s^{-1}]$	fréquence [ $s^{-1}$ ]	$\sigma_x/\sigma_y$ [ $\mu\text{m}/\mu\text{m}$ ]	particules par paquet
SPS ( $p\bar{p}$ )	315x315	6	$4 \cdot 10^5$	60/30	$10^{10}$
TeVatron ( $p\bar{p}$ )	1000x1000	100	$4 \cdot 10^6$	30/30	$30/8 \cdot 10^{10}$
HERA ( $e p$ )	30x920	50	$10 \cdot 10^9$	250/50	$3/7 \cdot 10^{10}$
LHC ( $p p$ )	7000x7000	15000	$40 \cdot 10^9$	17/17	$11 \cdot 10^{10}$
LEP ( $e^+e^-$ )	105x105	100	$1 \cdot 10^4$	200/3	$5 \cdot 10^{10}$
SLC ( $e^+e^-$ )	50x50	2	120	100/100	$4 \cdot 10^{10}$
PEP ( $e^+e^-$ )	9x3	3000	NA	150/5	$2/6 \cdot 10^{10}$
KEKB ( $e^+e^-$ )	8x3.5	10000	NA	77/2	$1.3/1.6 \cdot 10^{10}$

$$\mathcal{L} = \frac{N_1 N_2 N_b f}{A} = \frac{N_1 N_2 N_b f}{4\pi \sigma_x \sigma_y}$$



# Accélérateur à champ électrique statique

## ACCELERATEUR *électrostatique*



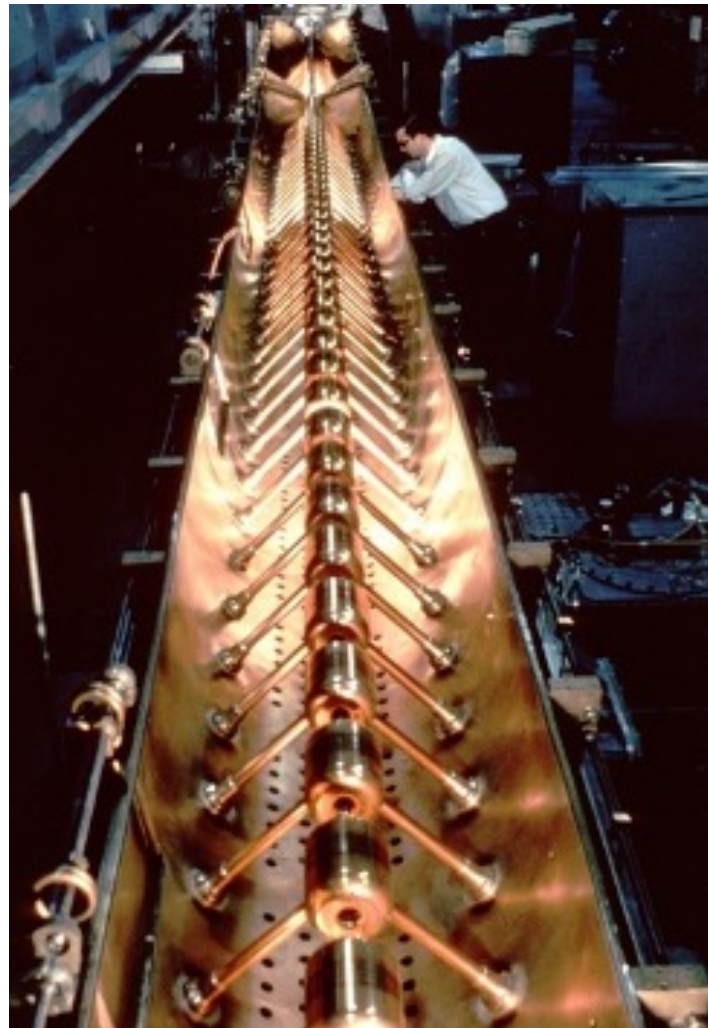
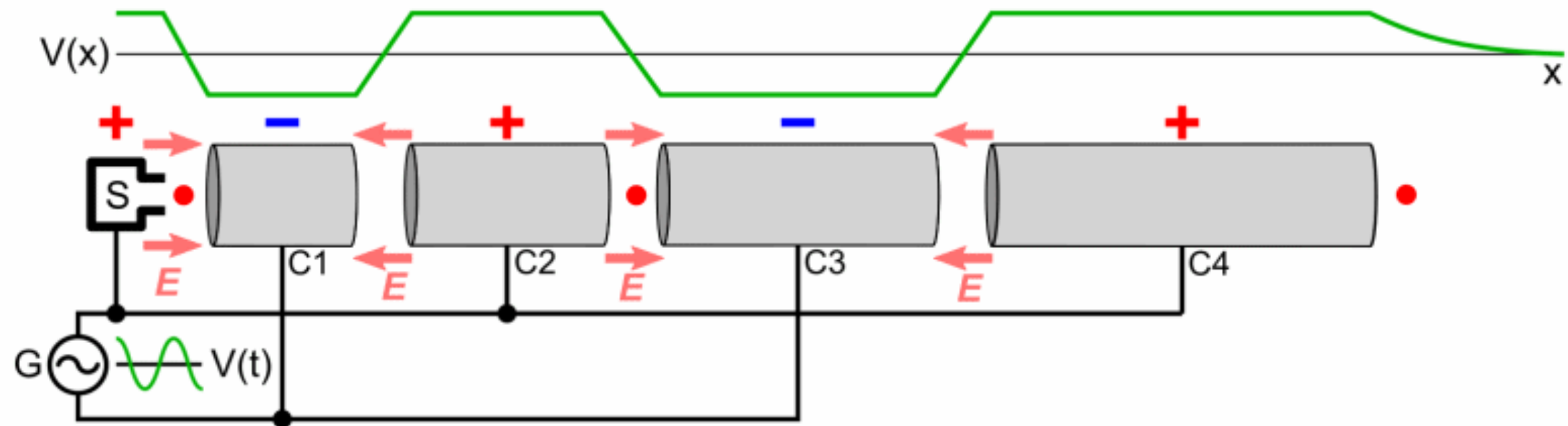
Van der Graaff -1930

→1.2 MeV

Figure 1 Schéma d'un accélérateur Van De Graaf.

Encore utilisé près des sources d'ions

# Accélérateurs linéaires radio fréquence



LINAC de R. Wideröe-1928

$$V(t) = V_0(\sin \omega t + \phi) \quad V_0 \sim \text{quelques kV}$$

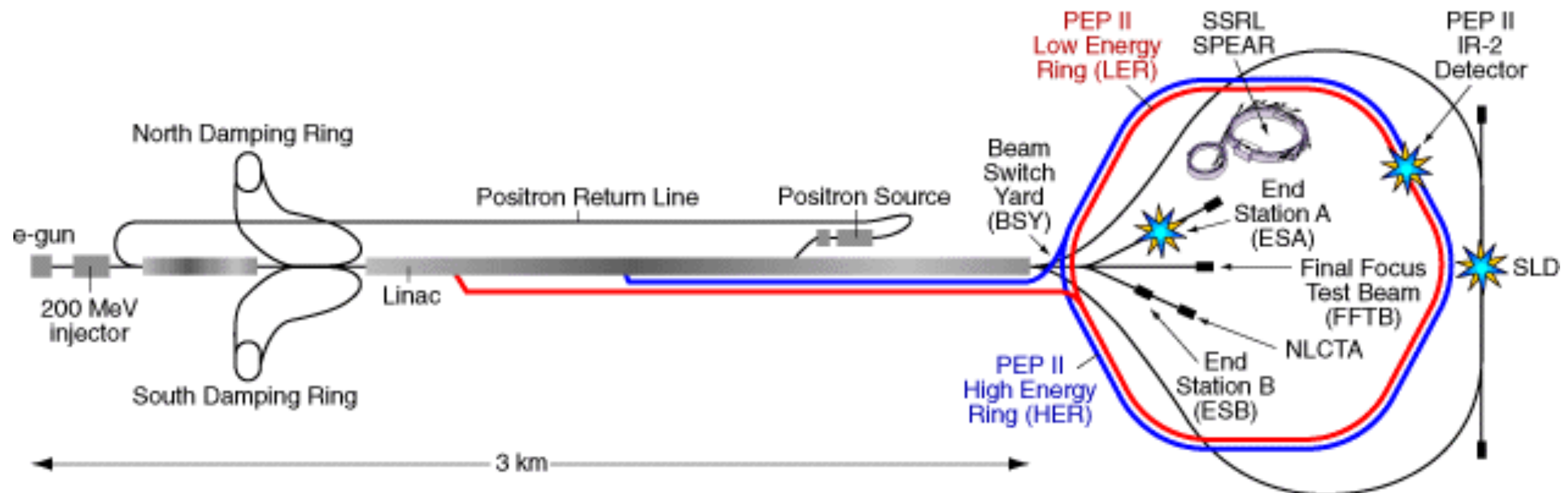
$$\Delta E_{cin} = \int \vec{F} \cdot d\vec{l} = \int q \vec{E} \cdot d\vec{l} = q \Delta V$$

$\Delta V$  est la différence de potentiel moyen entre deux éléments

Linac d'Alvarez

Voir animation sur site [web](#)

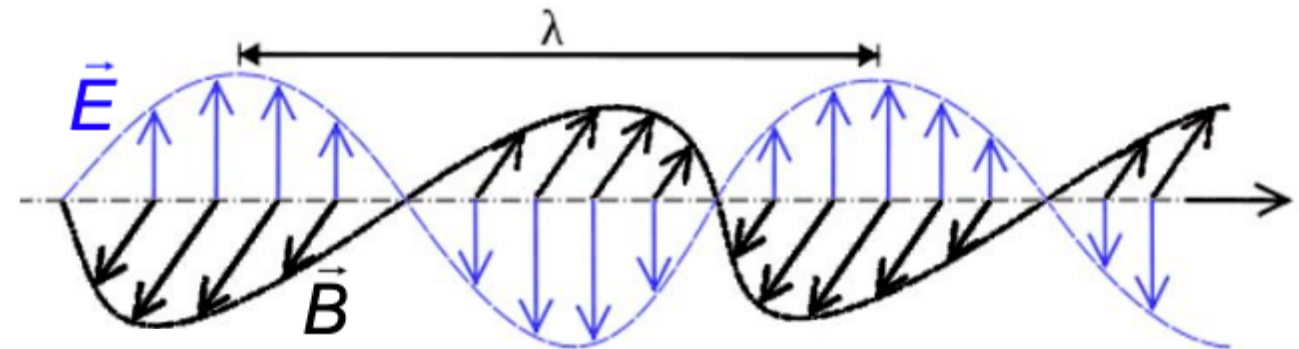
# Accélérateurs linéaires d'électrons



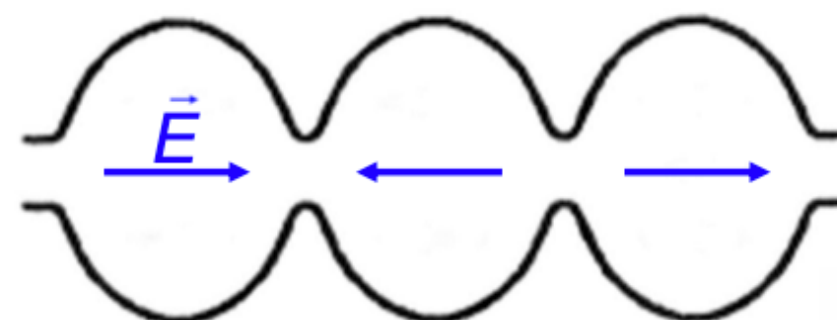
SLC: Stanford Linear Accelerator (SLAC) - 1966-2000  
3 km - 80 000 cavités accélératrices -  $E_e = 50 \text{ GeV}$

# Cavités accélératrices radio fréquences (RF)

- 1) on crée un champ  $E$  variable  
en appliquant une  $\Delta V$  variable  
 $\Rightarrow$  champ  $B$  variable



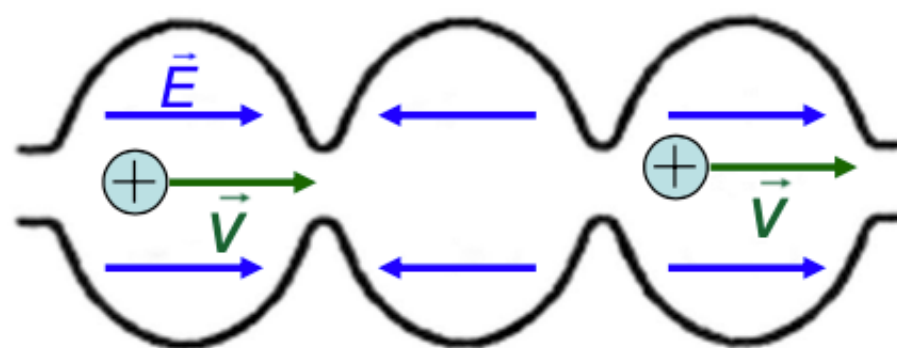
- 2) on la piège dans une cavité conductrice résonnante



- 3) par réflexions multiples sur les parois, on crée une onde EM stationnaire

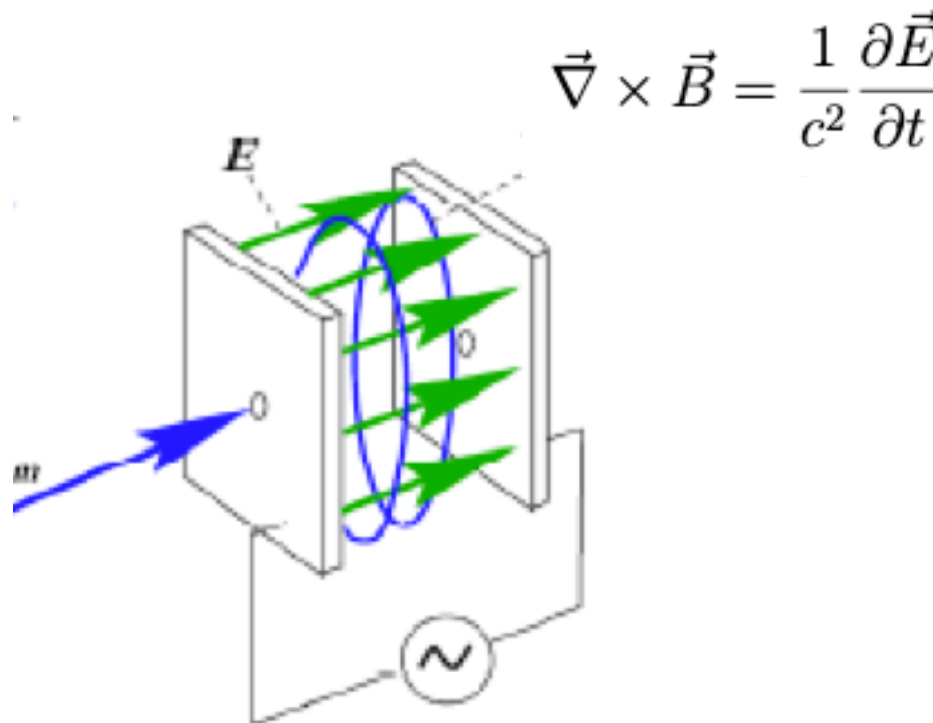
- 4) on y injecte des particules

$\Rightarrow$  accélération et mise en paquets

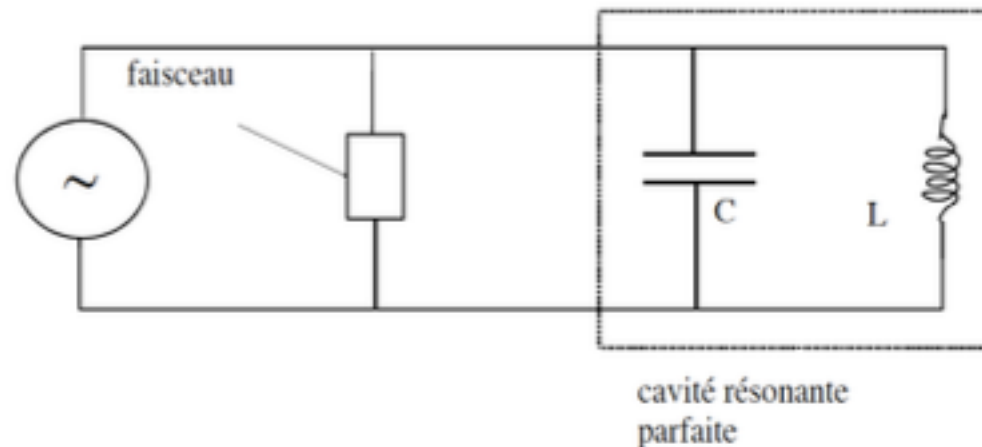


plusieurs cavités mises bout à bout = guide d'ondes

# Cavités accélératrices RF résonnante



$$\vec{\nabla} \times \vec{B} = \frac{1}{c^2} \frac{\partial \vec{E}}{\partial t}$$



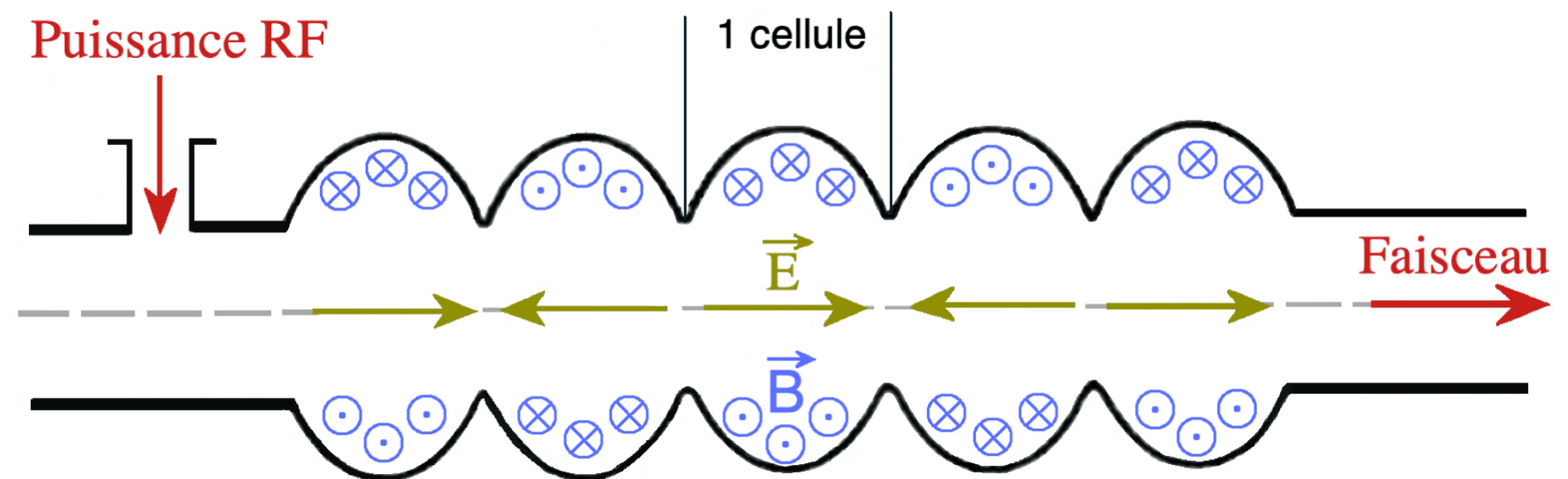
$$Z(\omega) = (i\omega C + \frac{1}{i\omega L})^{-1}$$

$$\text{fréquence de résonance : } \omega_0 = 1/\sqrt{LC}$$

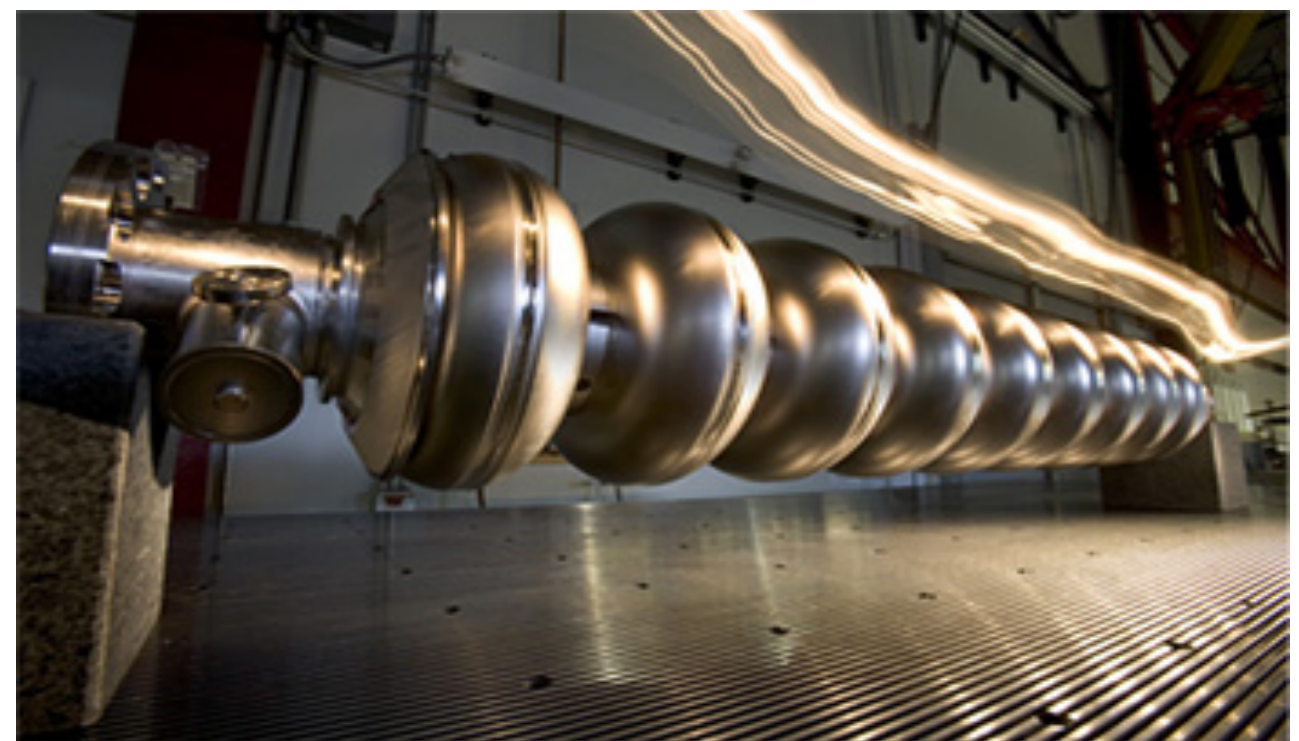
on adapte la structure de façon à minimiser l'impédance et donc à maximiser le transfert d'énergie vers le faisceau (équivalent de la résistance)

# Cavité accélératrices radio fréquences

Guide d'onde:



Cavité résonnante du LEP

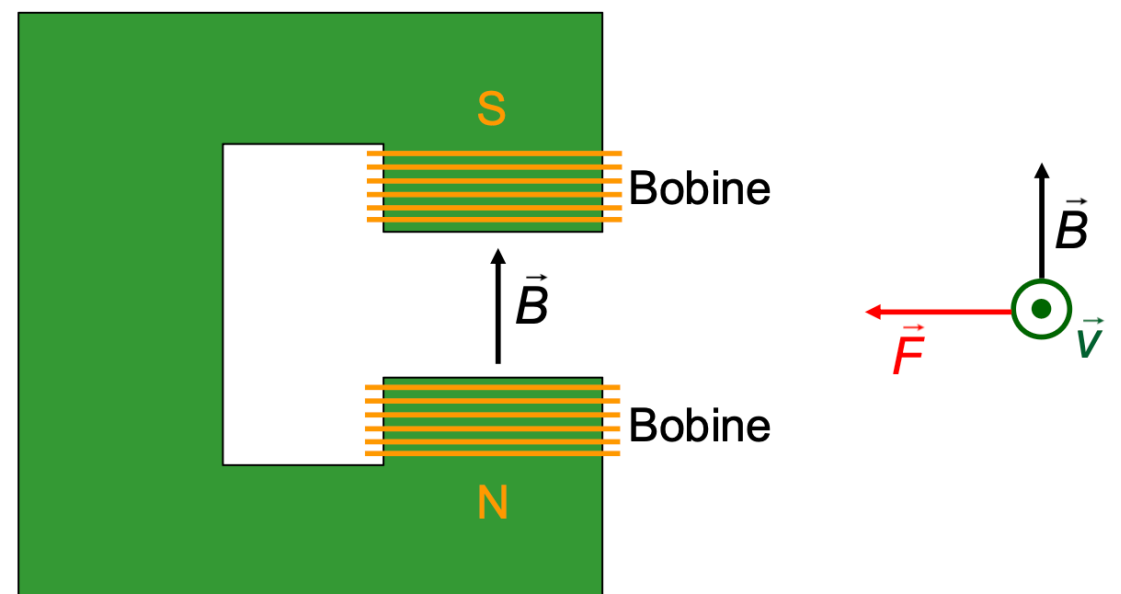
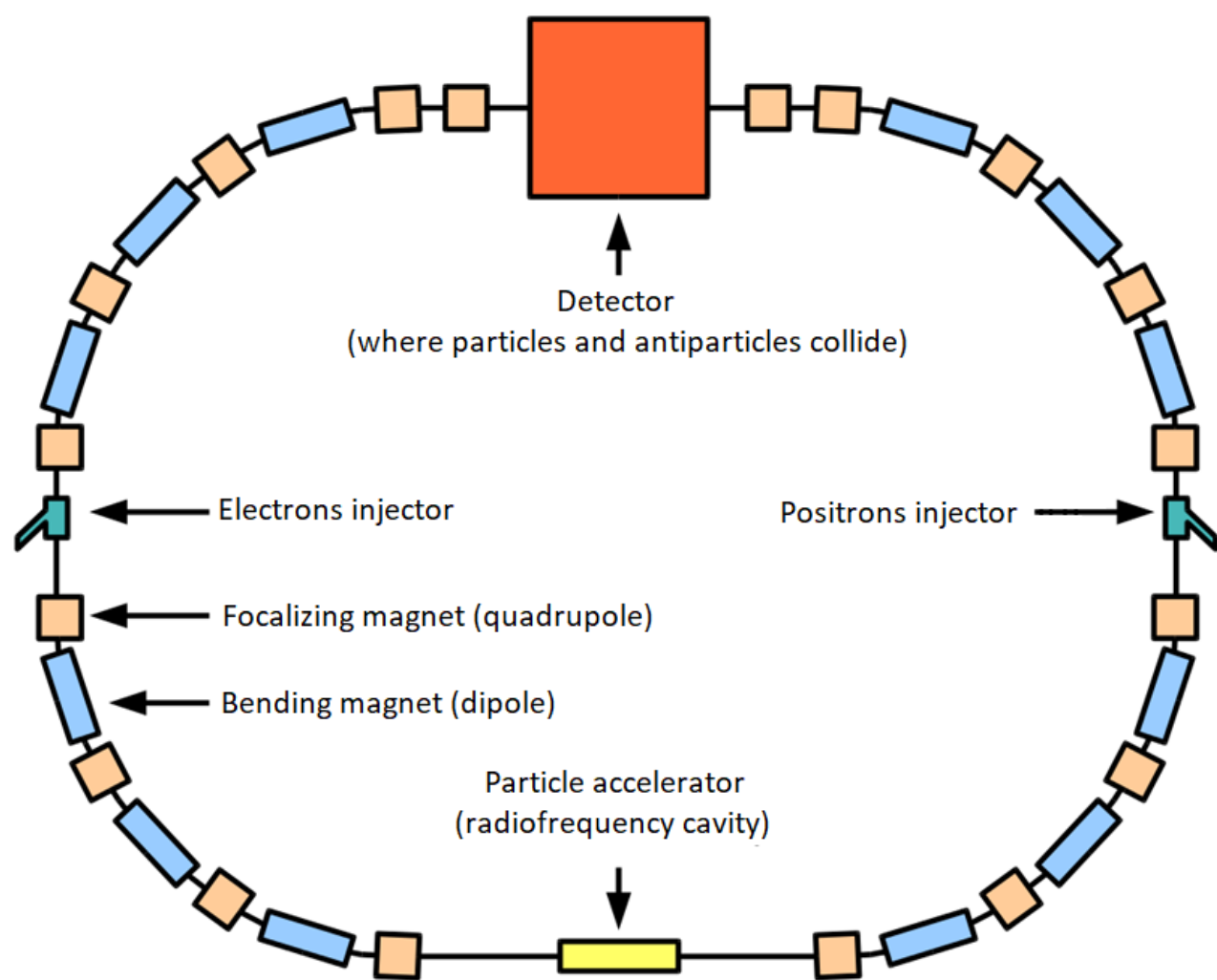


Cavités supraconductrices  
(en niobium) du LHC

# Guidage : aimants dipolaires

dipole magnétique, courbure circulaire

Rayon de courbure :  $\frac{1}{R} = \frac{q B}{p}$

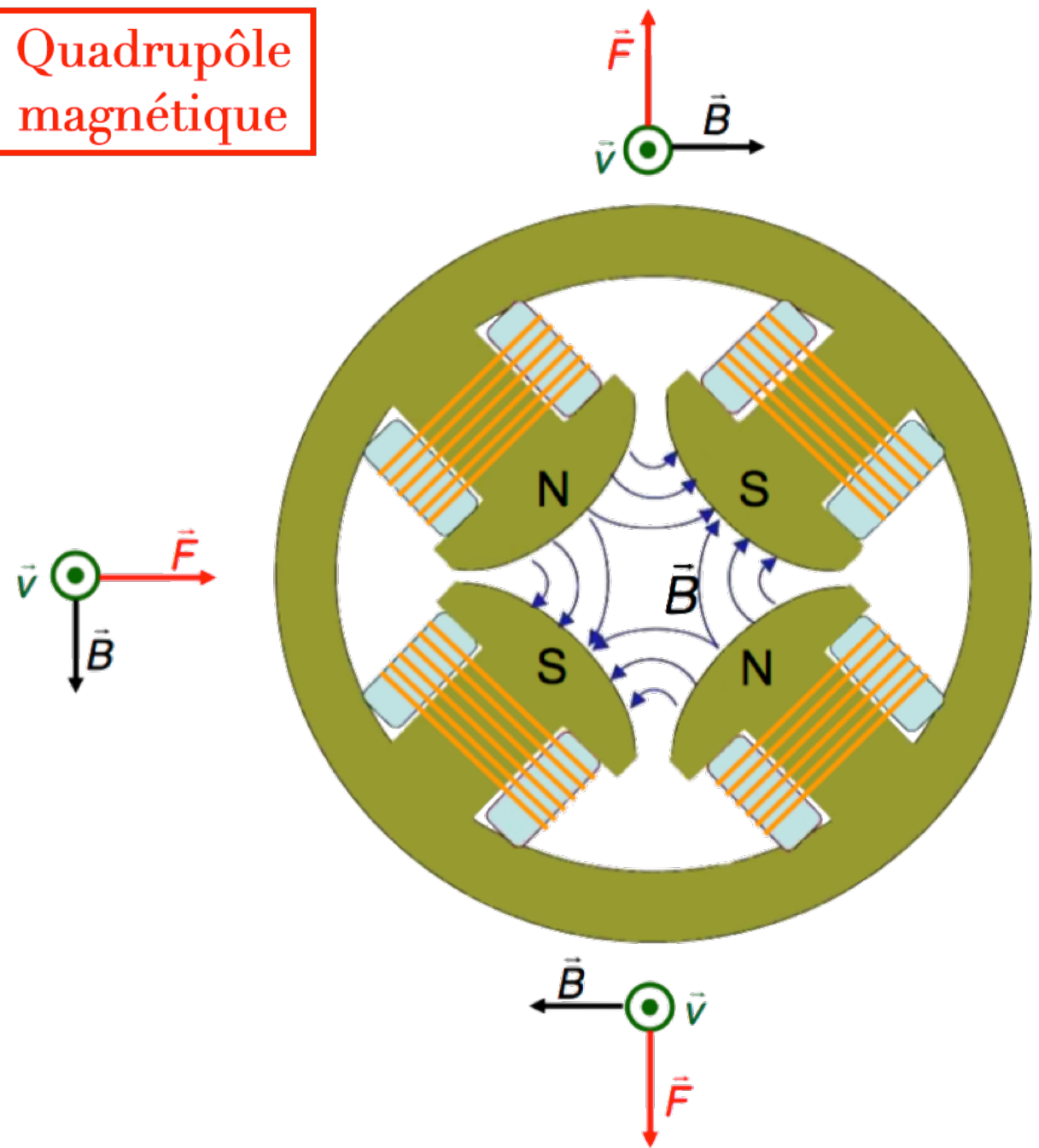


# La focalisation : aimants quadrupolaires

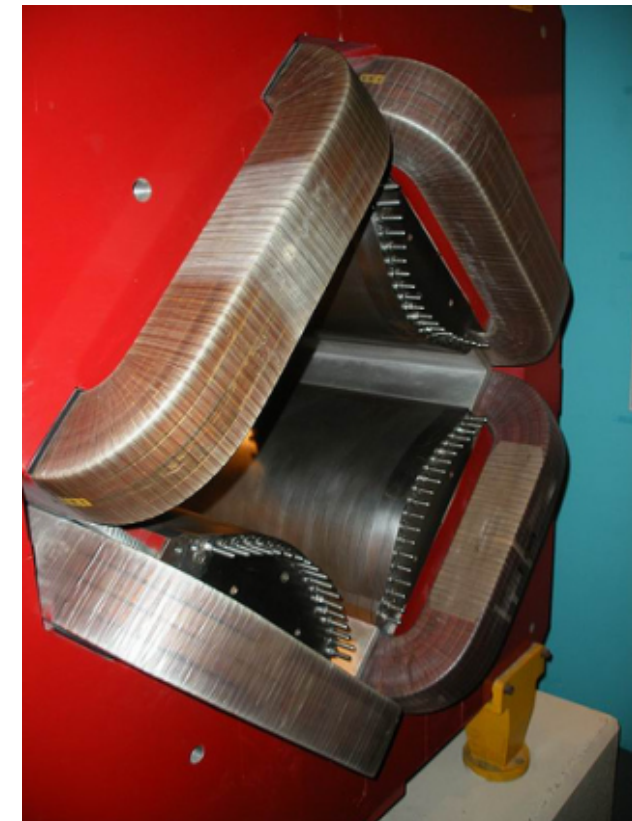
quadrupôle électrique ou magnétique ?

$$\vec{F} = q \vec{E} + q \vec{v} \times \vec{B}$$

Quadrupôle magnétique

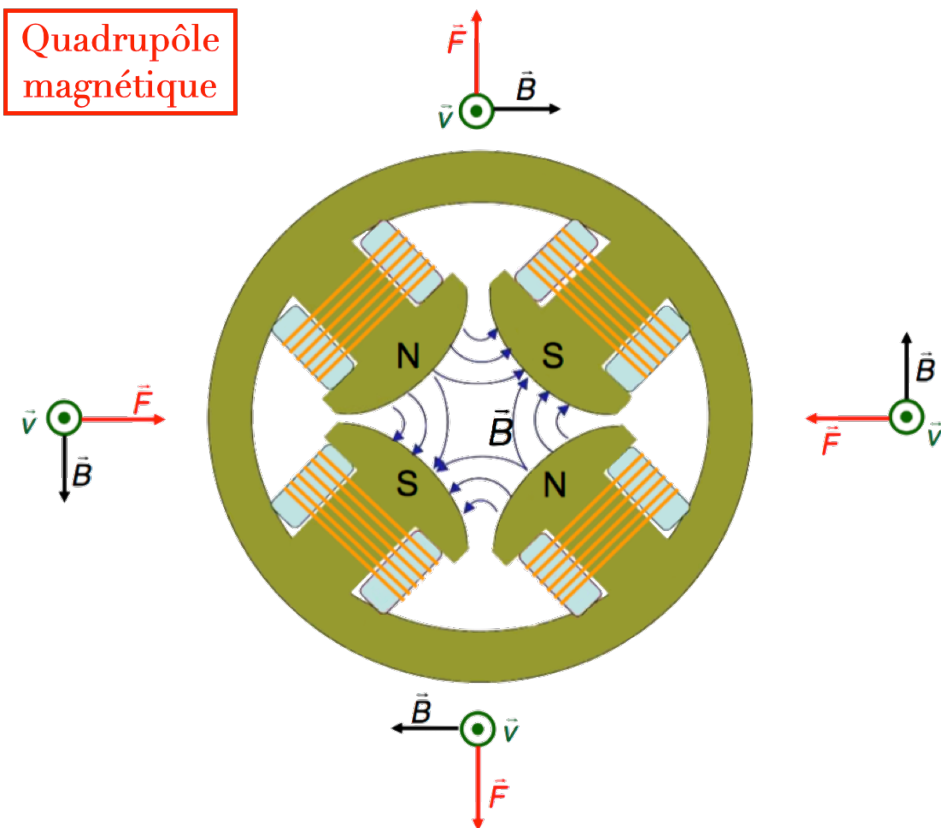


Exemple de quadrupôle  
Focalisant en horizontal  
Défocalisation en vertical



# La focalisation : aimants quadrupolaires

Quadrupôle magnétique



champ linéaire en la distance

$$\nabla \times \vec{B} = 0 \quad \Rightarrow \quad \frac{\partial B_y}{\partial x} = \frac{\partial B_x}{\partial y} = cte = K$$

$$\Rightarrow \quad B_x = K y, \quad B_y = K x,$$

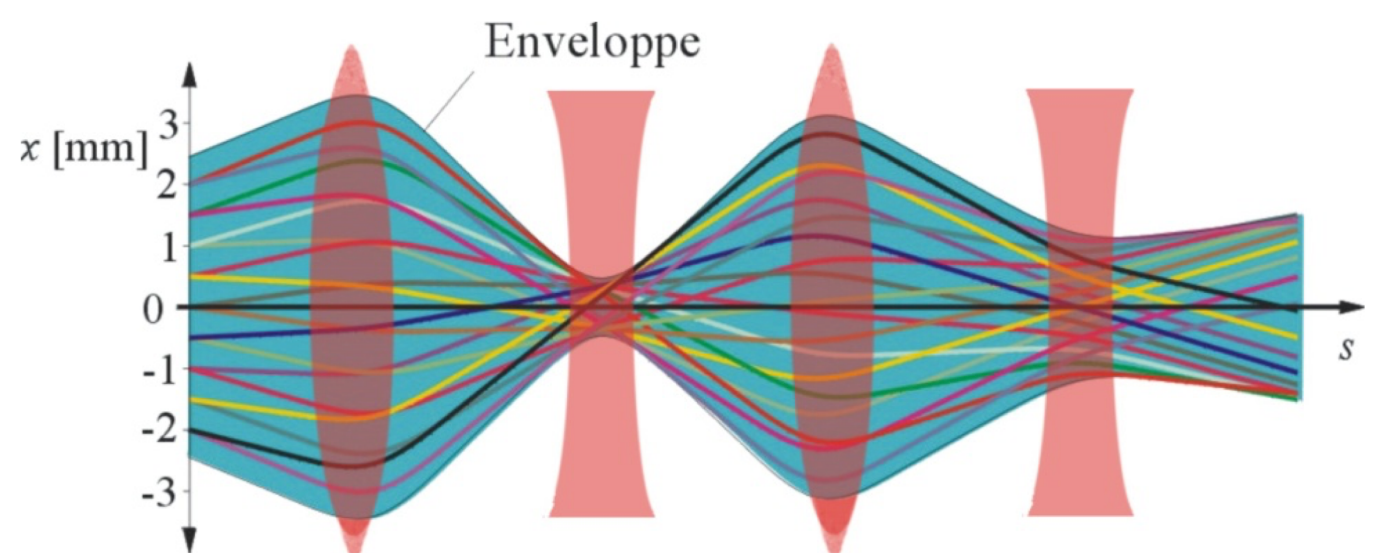
$$\Rightarrow \quad F_x = -qvB_y, \quad F_y = qvBx.$$

effet globalement focalisant : succession de quadrupôles

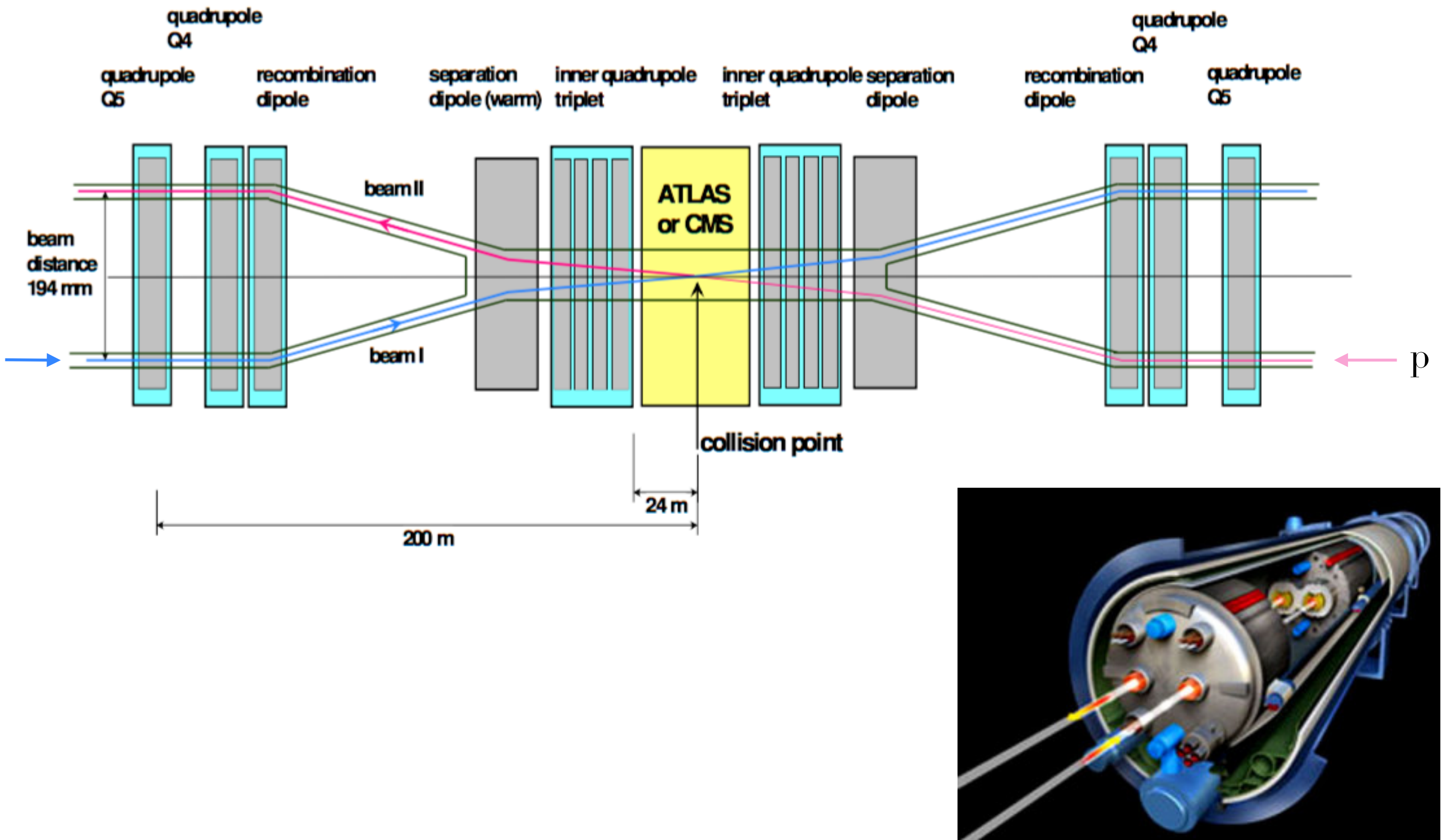
$$\frac{1}{f} = \frac{1}{f_1} + \frac{1}{f_2} - \frac{d}{f_1 f_2}$$

si on choisit les distances focales :

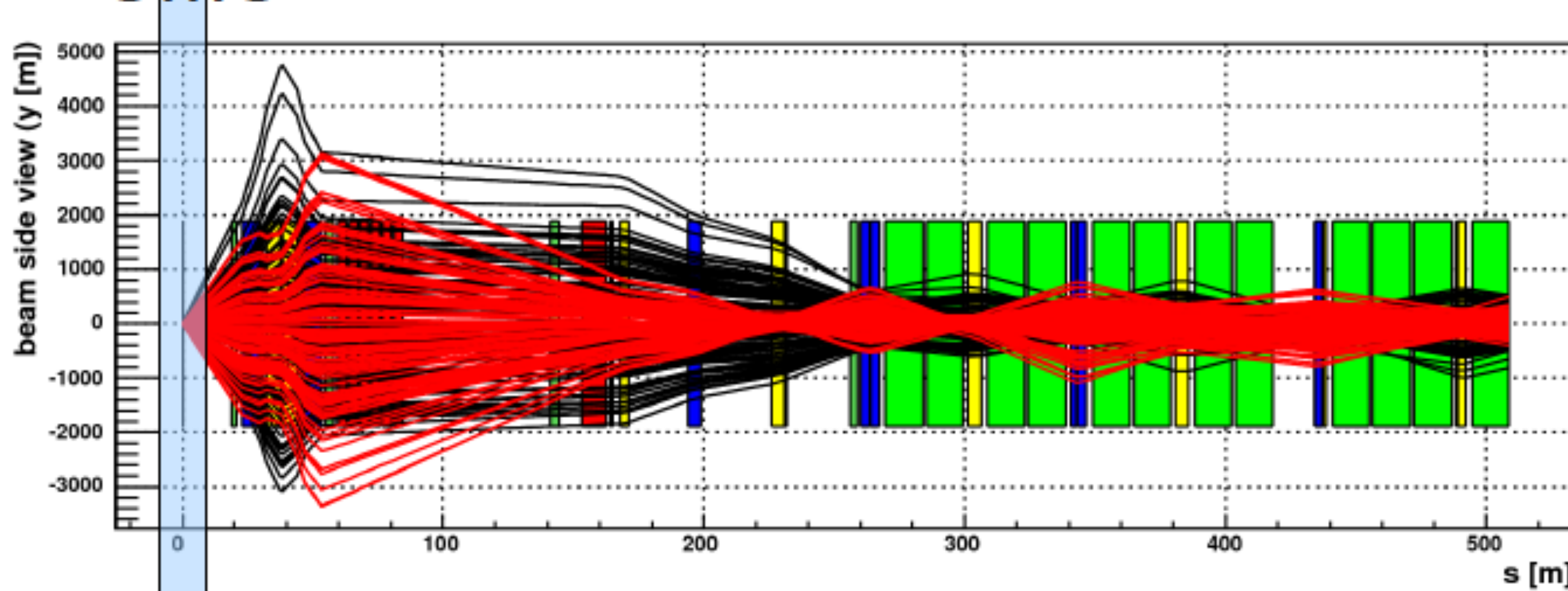
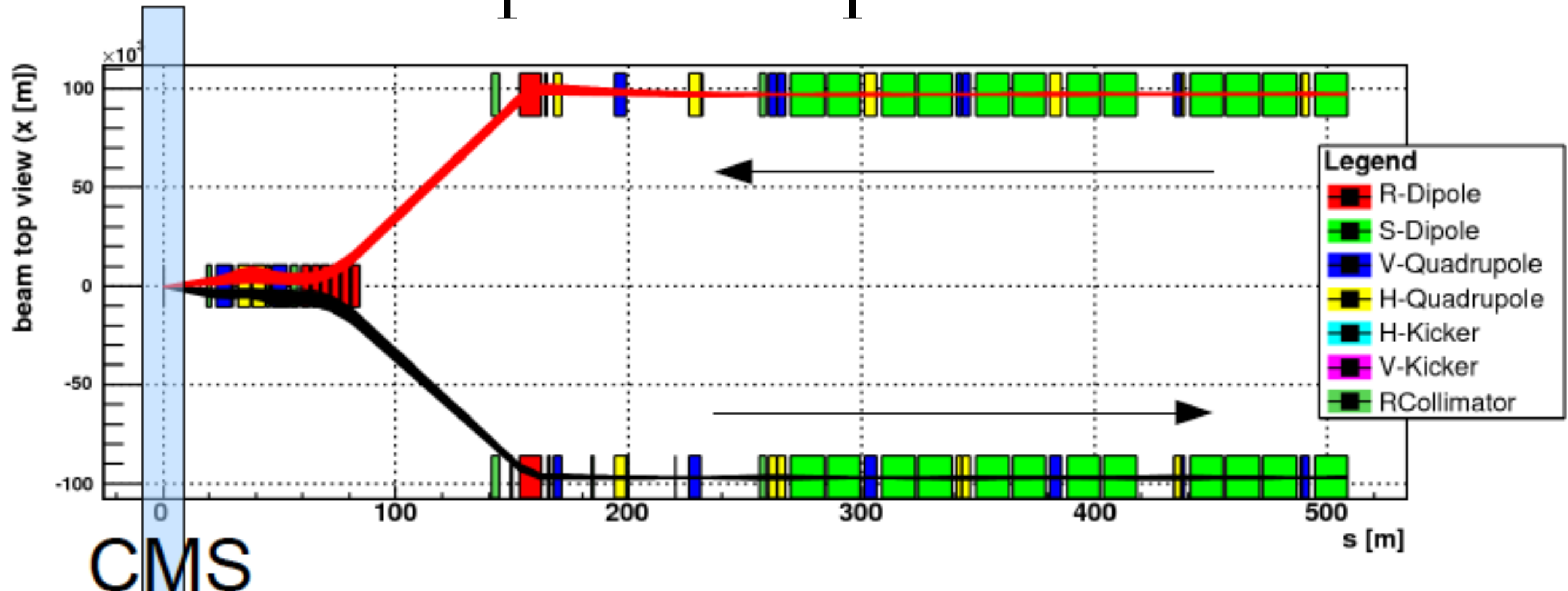
$$f_1 = -f_2 \quad \Rightarrow \quad f > 0$$



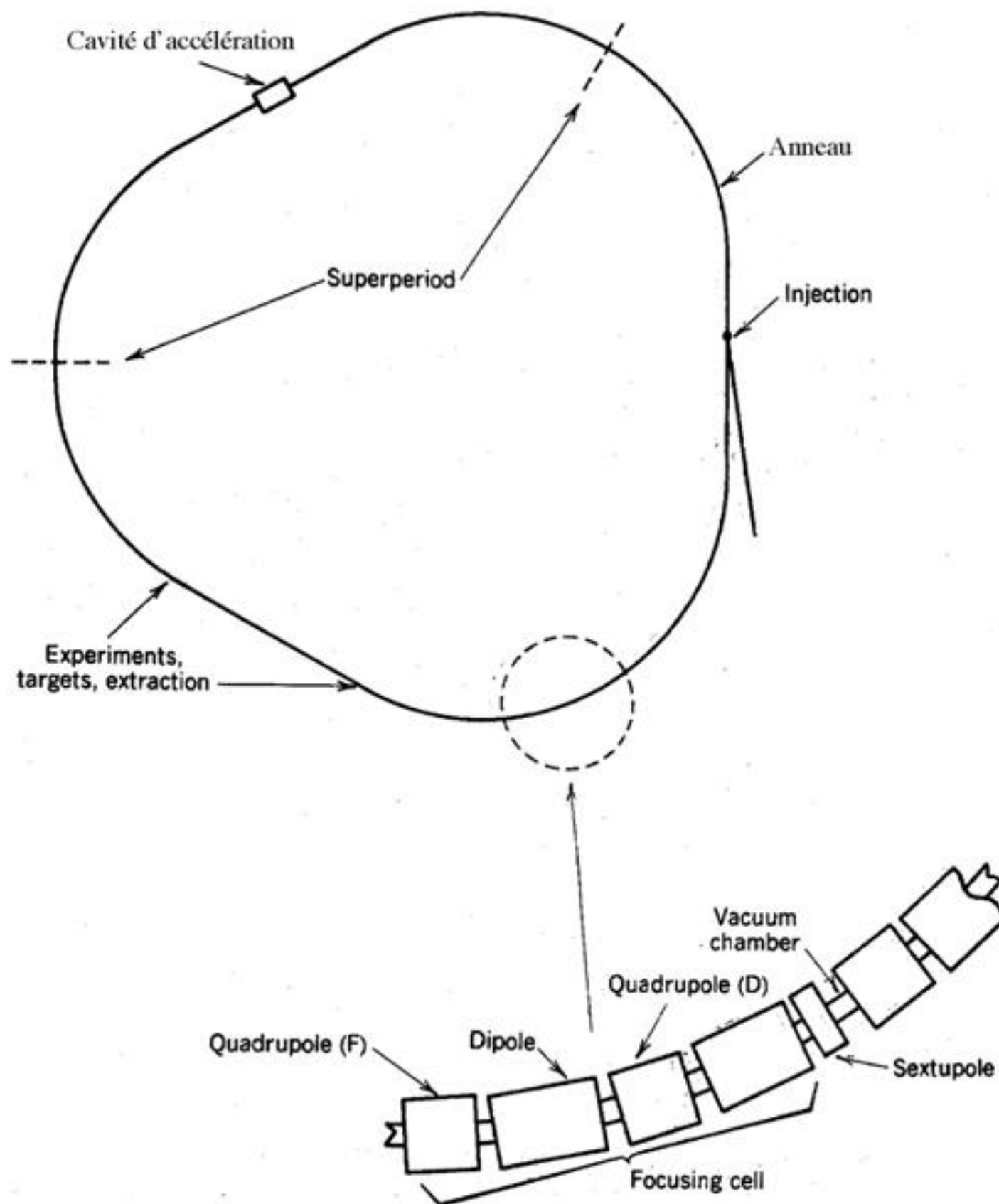
# Exemple: LHC près de CMS



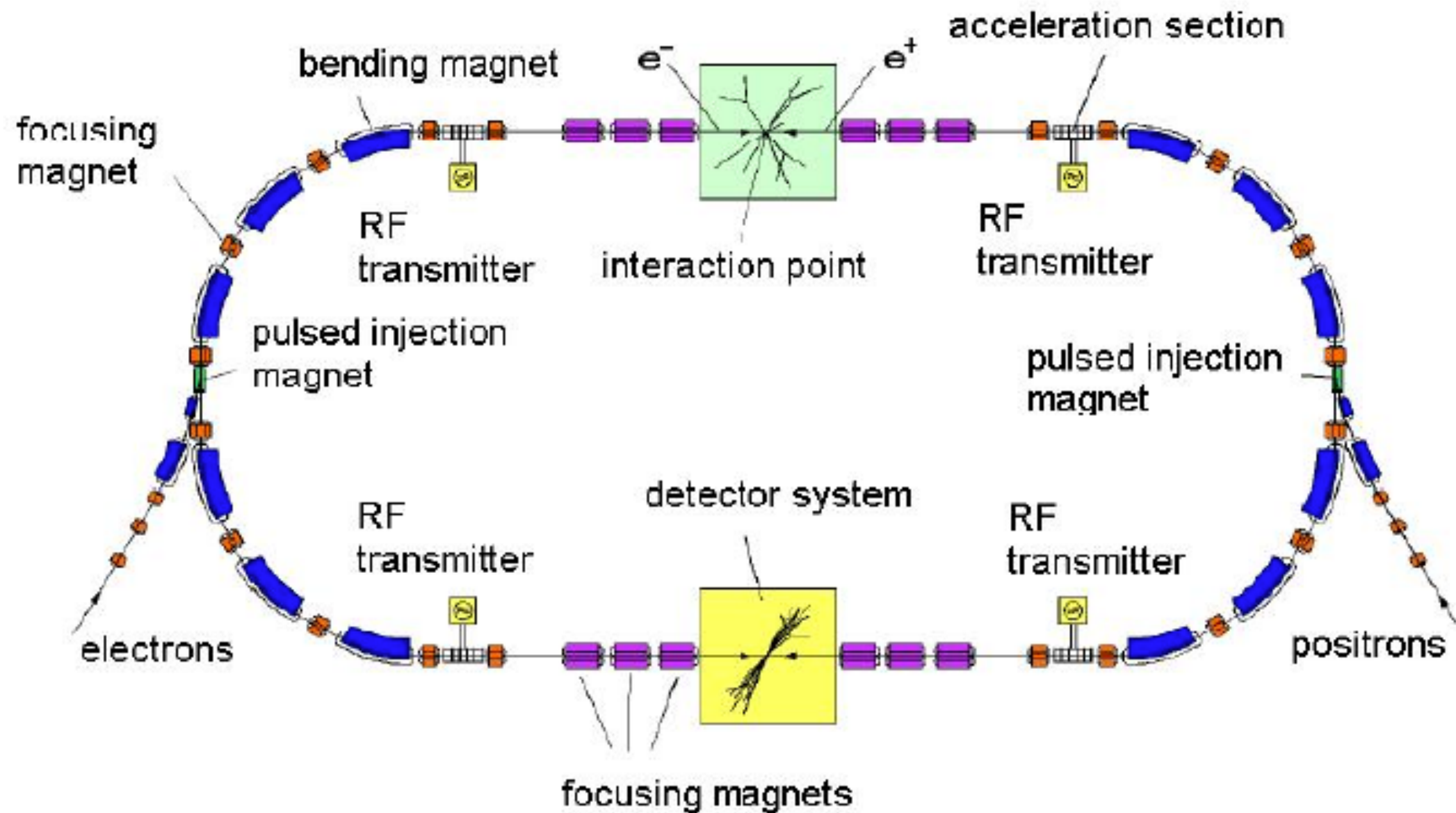
# Exemple: LHC près de CMS



# Les accélérateurs circulaires



# Accélérateurs circulaires: synchrotron



**Synchrotron :**

- une injection de particules à une certaine énergie.
  - ⇒ **B (dipole) et  $\omega$  doivent être synchronisés au fur et à mesure que  $p$  augmente**

# Synchronisation des paquets de particules

- pour que les paquets de particules du faisceau arrive en phase avec le champ E au sein des cavités RF, il faut que :

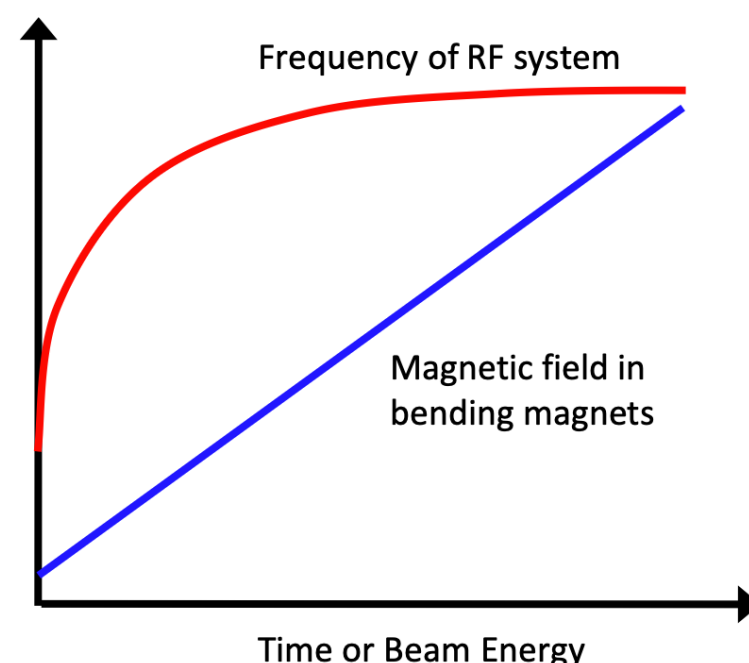
$$\omega_{RF} = N_b \omega_{revol}$$

$N_b$  = le nombre de paquets max ou d'harmoniques

- au LHC cavités à du 400 MHz

$$\omega_0 = h f_{rev} \quad f_{rev} = \frac{\beta c}{2\pi R} = \frac{c}{26659[m]} = 1.1246 \cdot 10^4 \text{ Hz} \Rightarrow h = 35640$$

- $B$  doit augmenter avec l'énergie du faisceau pour garder les particules dans le tube à vide ( $R=\text{constant}$ )
- $\omega_{RF}$  doit aussi augmenter avec l'énergie, mais de façon différente



$$B(t) = \frac{\gamma m v}{q R} \sim \gamma v$$

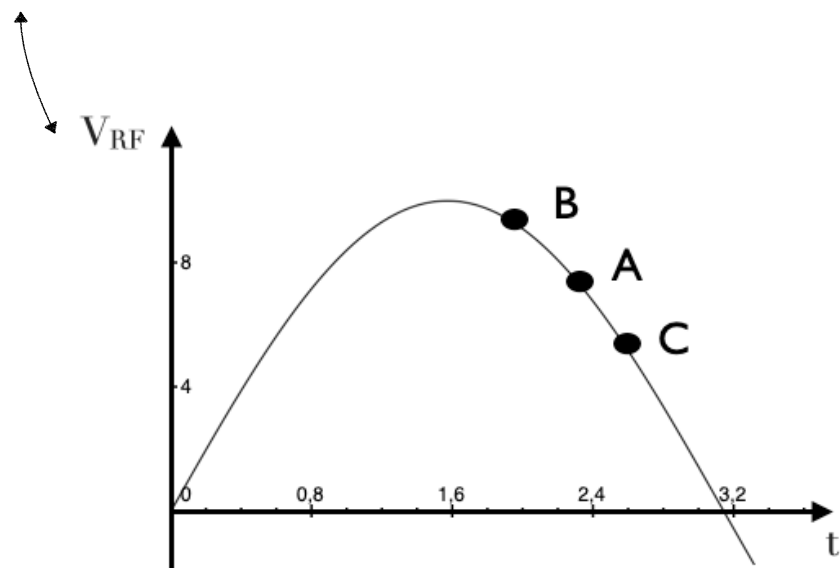
$$\omega(t) = \frac{q B(t)}{\gamma m} \sim v$$

⇒ **B et  $\omega_{RF}$  doivent être synchronisés au fur et à mesure que  $v$  augmente**

⇒ **Synchrotron**

# Synchronisation des particules au sein d'un paquets

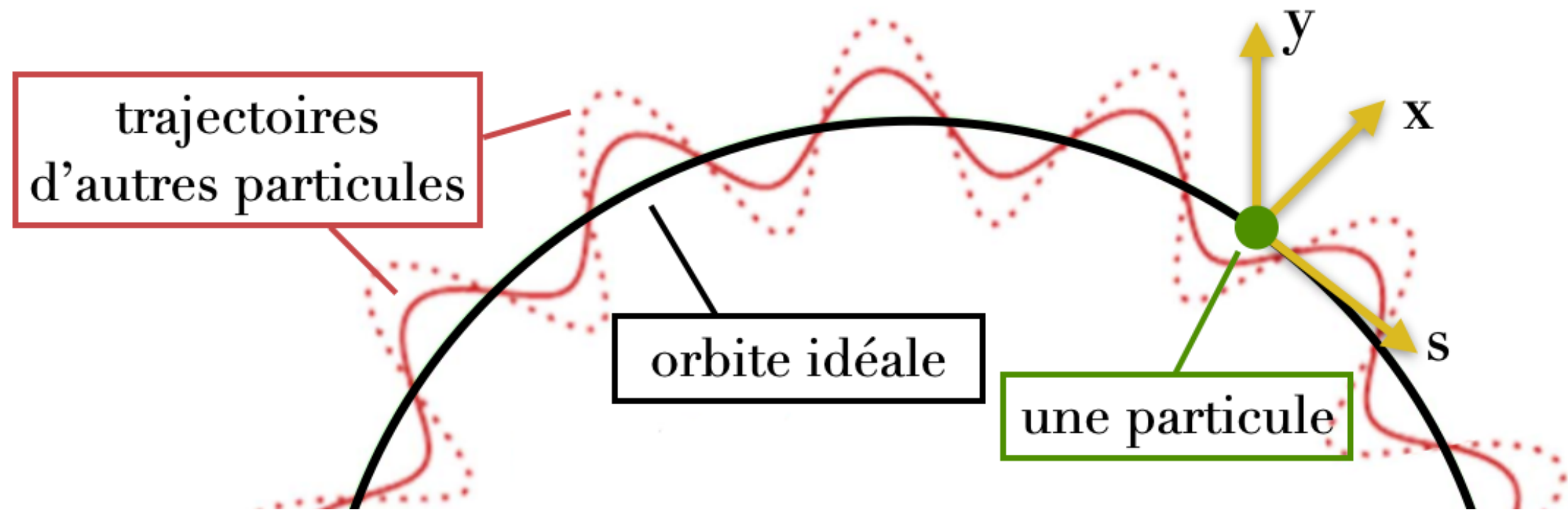
de la cavité  
accélératrice



- A = particule synchrone (= "idéale")
- B en retard, reçoit moins d'énergie  
     $\rightarrow R \downarrow$  et  $f \uparrow \rightarrow$  en avance
- C en avance, reçoit plus d'énergie  
     $\rightarrow R \uparrow$  et  $f \downarrow \rightarrow$  en retard

$\Rightarrow$  phasage induit, mais oscillations autour de l'orbite nominale

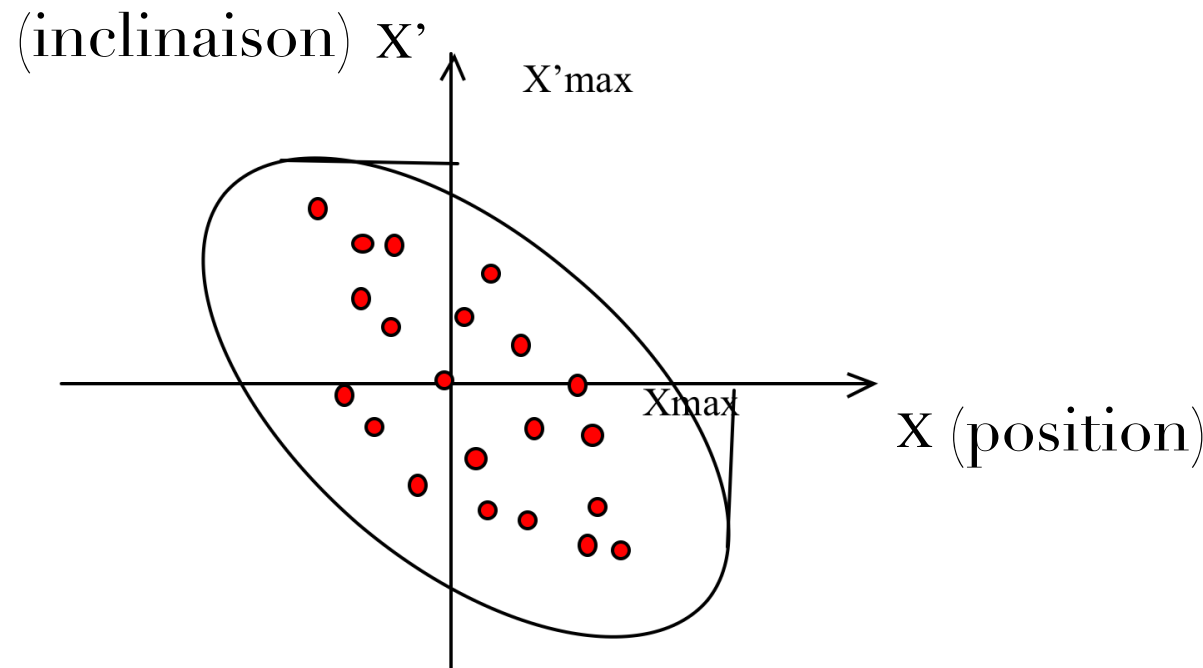
# Trajectoires des particules



ensemble des variables nécessaires pour d'écrire l'orbite d'une particule :

$$(x, x', y, y', \Delta L, \Delta p/p) \quad \text{où} \quad x' = \frac{dx}{ds} \simeq \theta_x \quad y' = \frac{dy}{ds} \simeq \theta_y \quad \Delta L = s - s_0$$

# Emittance d'un faisceau

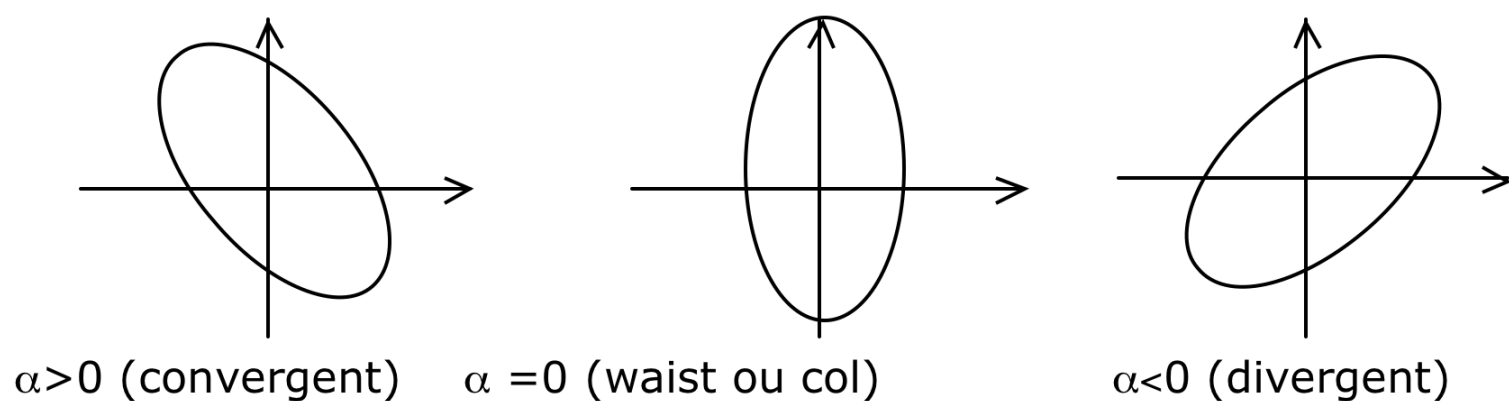


$\epsilon = A/\pi$ , où  $A$  est l'aire de l'ellipse.

$$\alpha, \beta, \gamma \text{ et } \epsilon \quad \text{telles que :} \quad x_{max} = \sqrt{\beta} \epsilon$$

$$x'_{max} = \sqrt{\gamma} \epsilon$$

$$\beta\gamma - \alpha^2 = 1$$



Théorème de Liouville :  $A$  est conservé (pour un système conservatif - à  $p$  fixe)

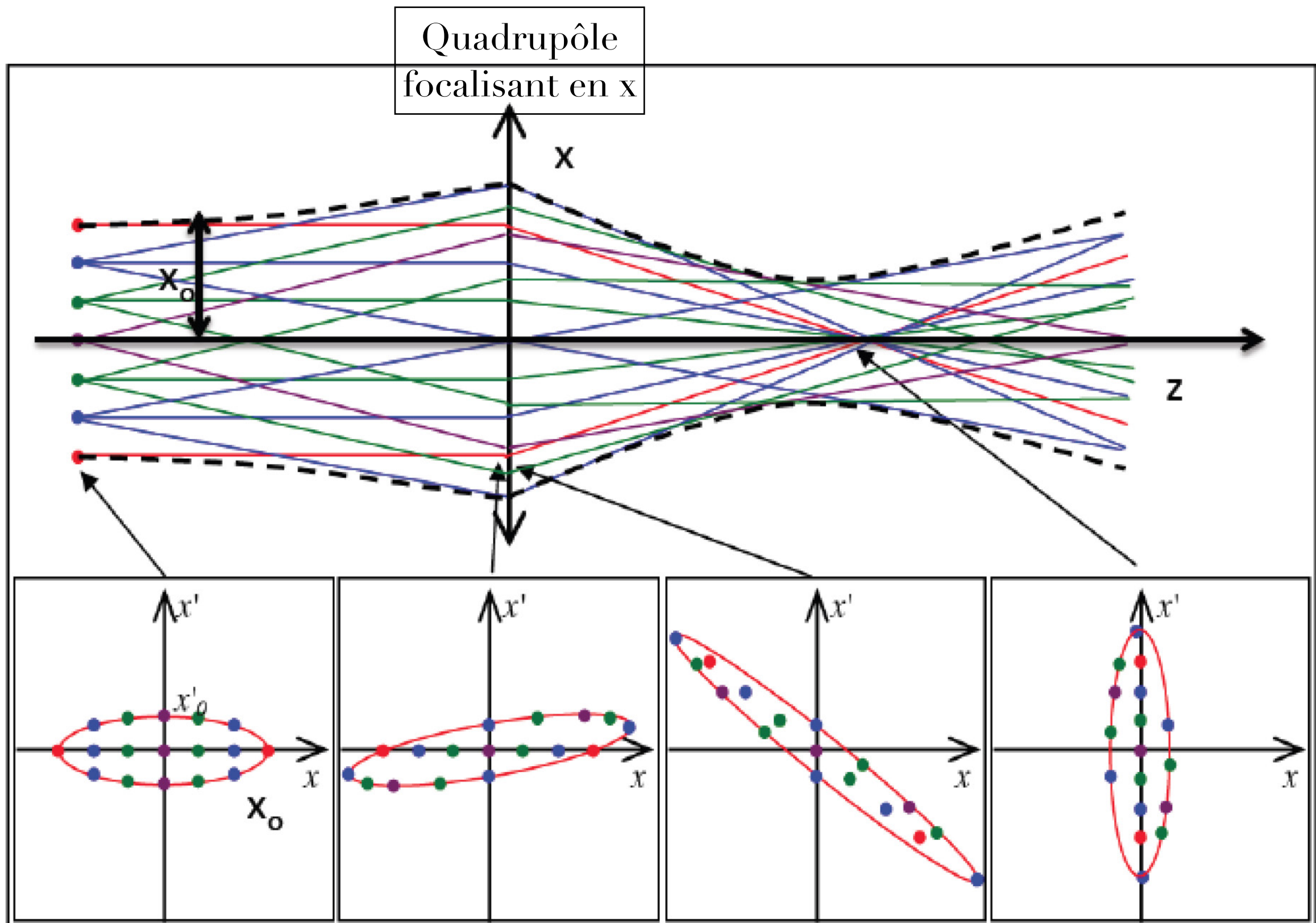
taille du faisceau

$$\sigma_x(s) = \sqrt{(\beta_x^* + \frac{s^2}{\beta_x^*})\epsilon_x}$$

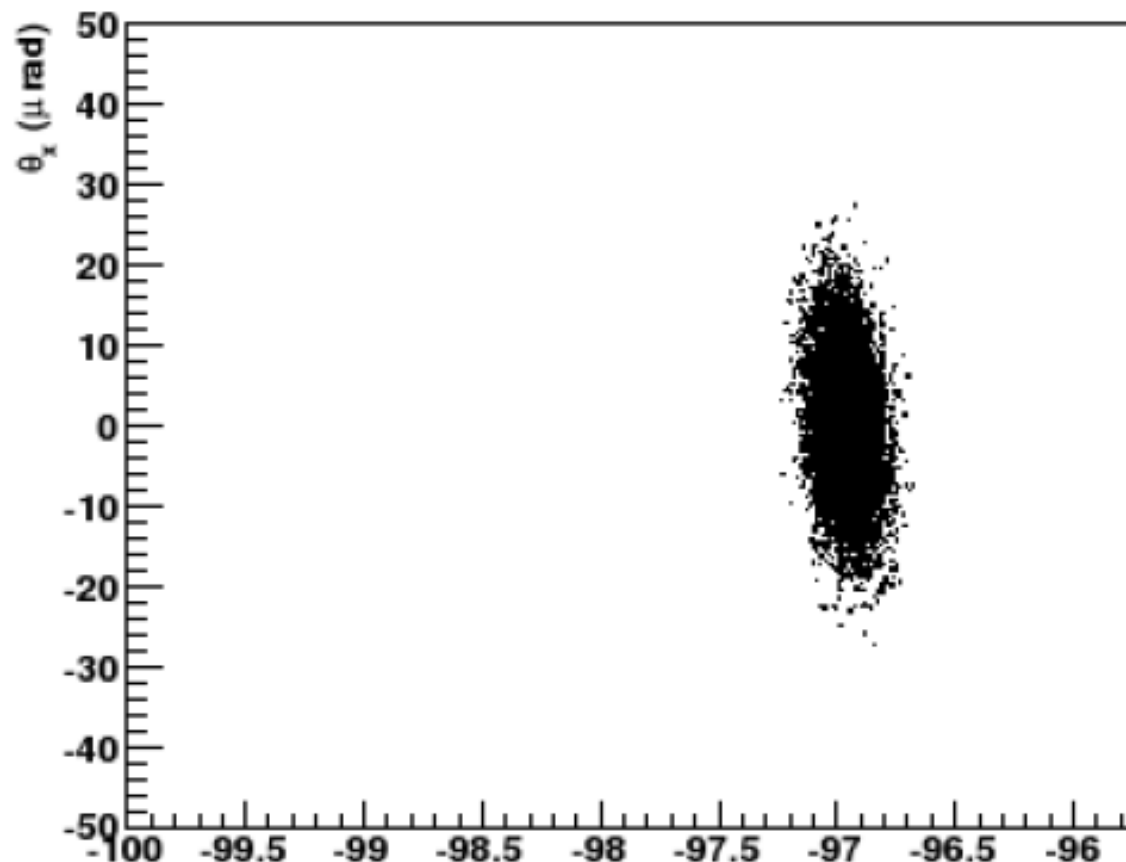
$$\mathcal{L} = \frac{N_1 N_2 N_b f}{4\pi \sigma_x \sigma_y} \simeq \frac{N_1 N_2 N_b f}{4\pi \sqrt{\beta_x^* \epsilon_x} \sqrt{\beta_y^* \epsilon_y}}$$

si  $\beta_x^* \gg \sigma_x$  et  $\beta_y^* \gg \sigma_y$

# Évolution du profil d'un paquet

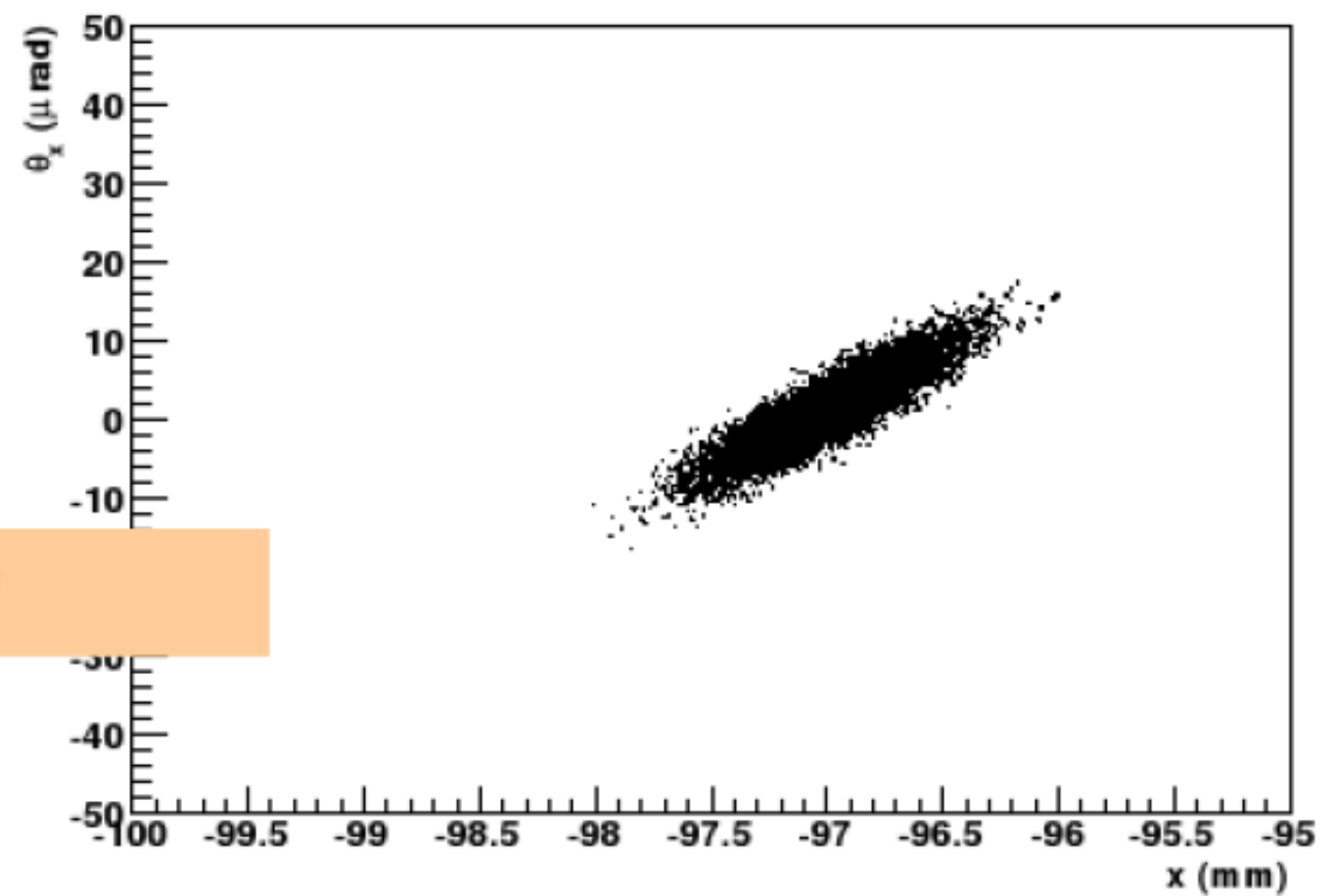


**Beam 1 profile at 220m**



L'hyper-volume dans l'espace de phase ( $r$ ,  $p$ ) est conservé

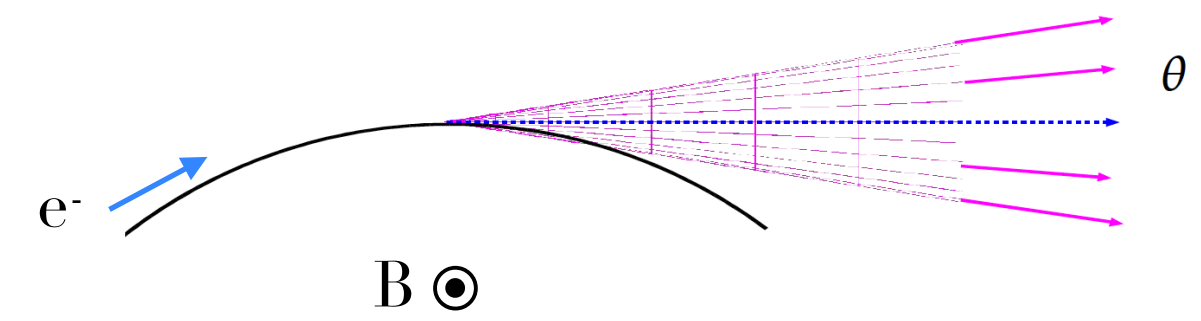
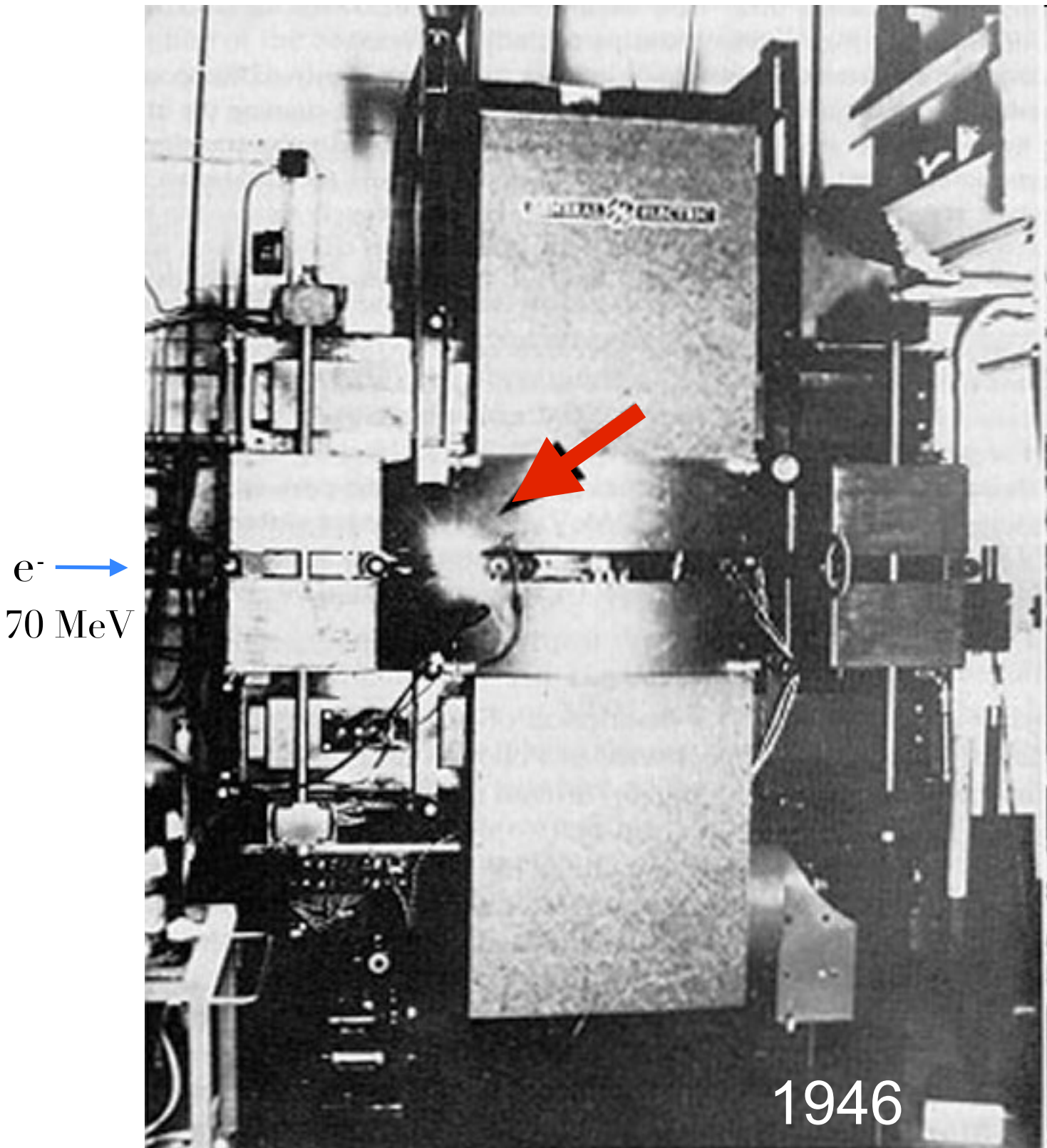
**Beam 1 profile at 420m**



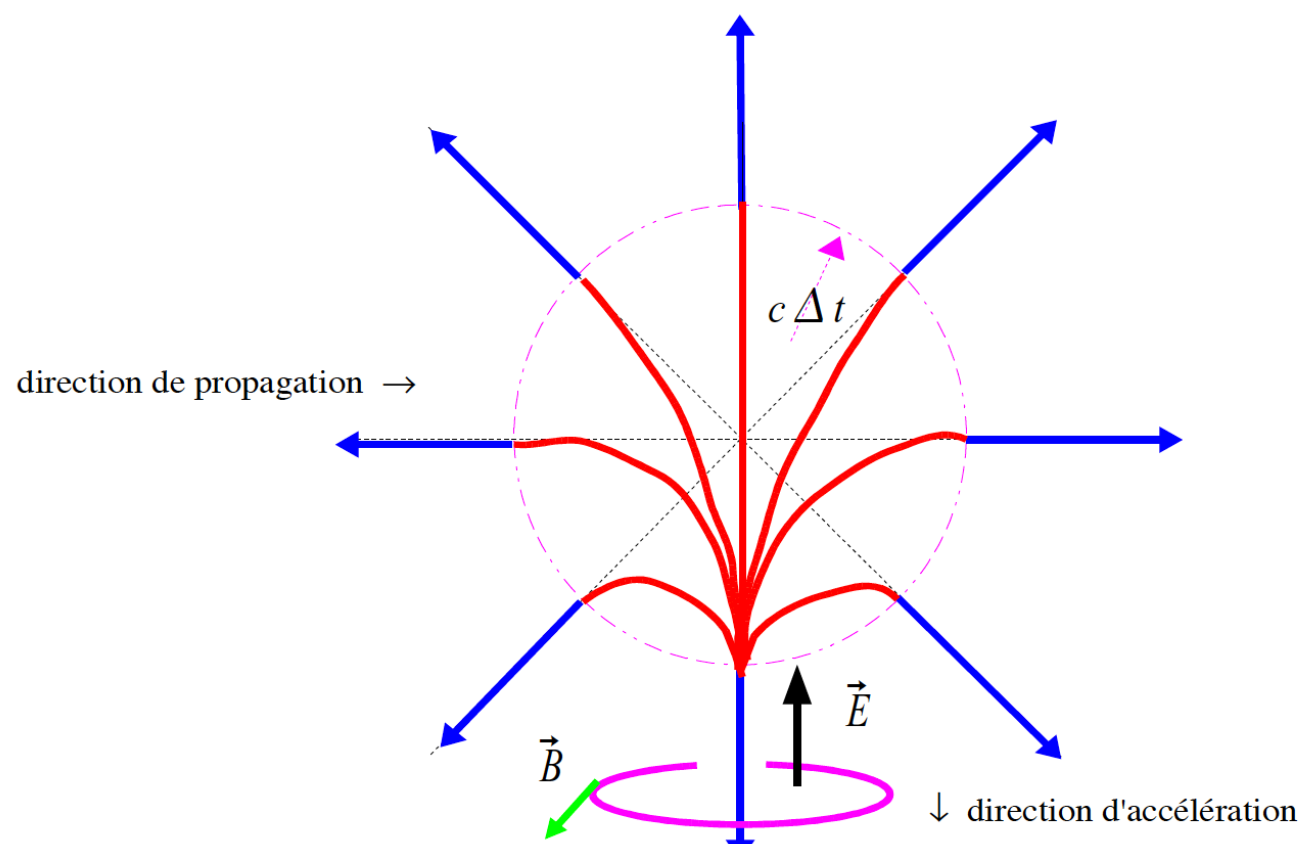
**L'émittance du faisceau reste constante**

NB l'angle  $\Theta_x$  ici est défini par rapport à l'axe z au point d'interaction et non par rapport à s (local)

# Radiation synchrotron/de courbure



# Radiation synchrotron/de courbure



vecteur de Poynting : énergie rayonnée

$$\vec{S} = \vec{E} \times \vec{B} > 0$$

puissance rayonnée :

$$\mathcal{P} = \frac{2}{3} \frac{q^2 c}{4\pi\epsilon_0} \frac{\gamma^4 \beta^4}{R^2} \xrightarrow{\beta \rightarrow 1} \sim \frac{p^4}{m^4 R^2}$$

$$p/mc = \beta\gamma.$$

perte d'E par tour :

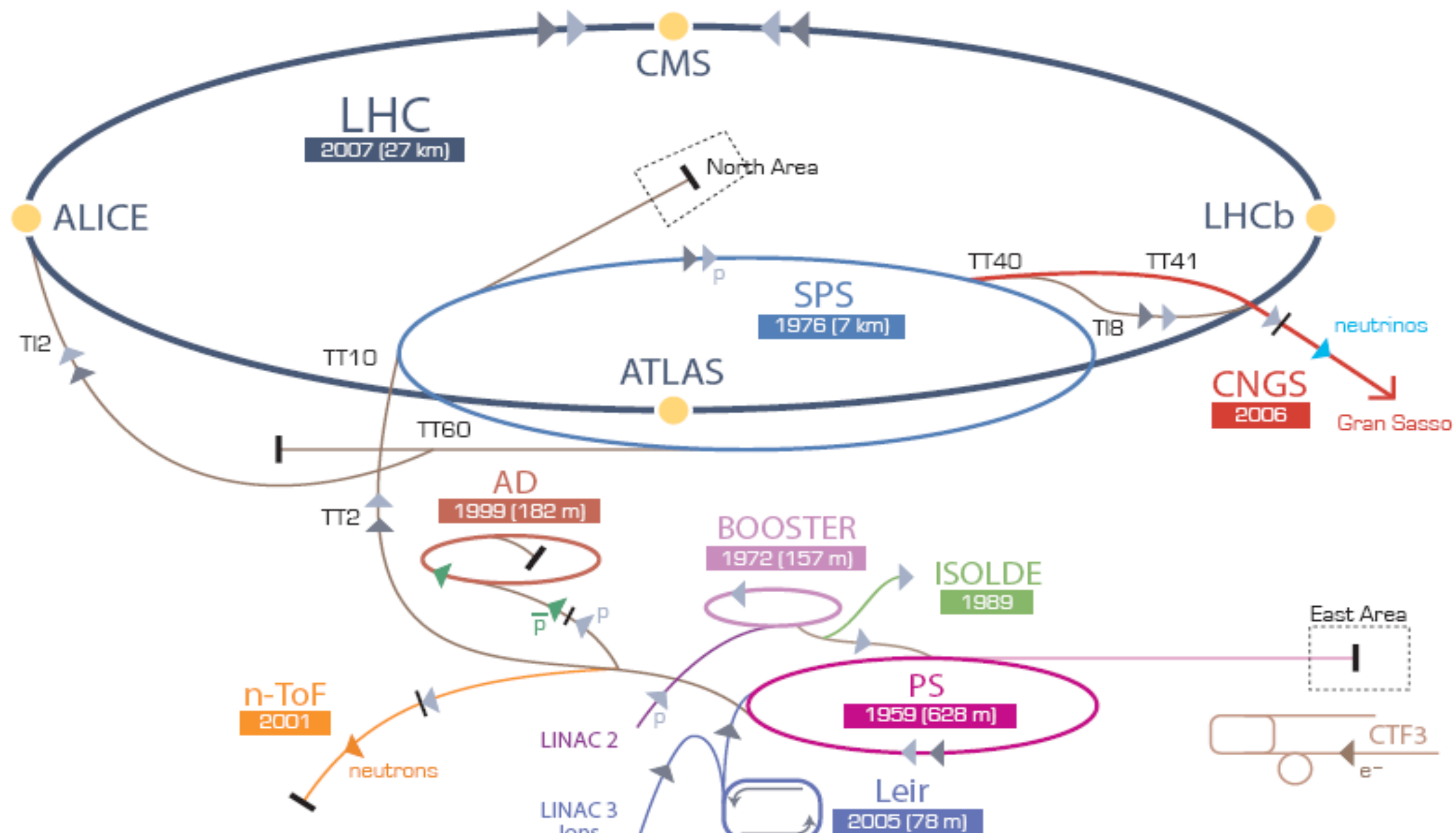
$$\Delta E = \mathcal{P} \frac{2\pi R}{\beta c} = \frac{1}{3} \frac{q^2 \gamma^4 \beta^3}{\epsilon_0 R}$$

tps de revol

	$E[\text{GeV}]$	$R[\text{m}]$	$I[\text{mA}]$	$B[T]$	$\Delta E[\text{GeV/tour}]$	$\mathcal{P}[\text{MW}]$
e <sup>-</sup>	LEP100	50	3096	6	0.06	0.17
e <sup>-</sup>	LEP200	104.5	3096	6	0.12	3.4
p	LHC	7000	2778	1060	8.3	$6.9 \cdot 10^{-6}$
						$7.3 \cdot 10^{-3}$

$$\frac{\mathcal{P}_p}{\mathcal{P}_e} = \frac{m_e^4}{m_p^4} \simeq 9 \cdot 10^{-14}$$

# Complexes d'accélérateurs : CERN

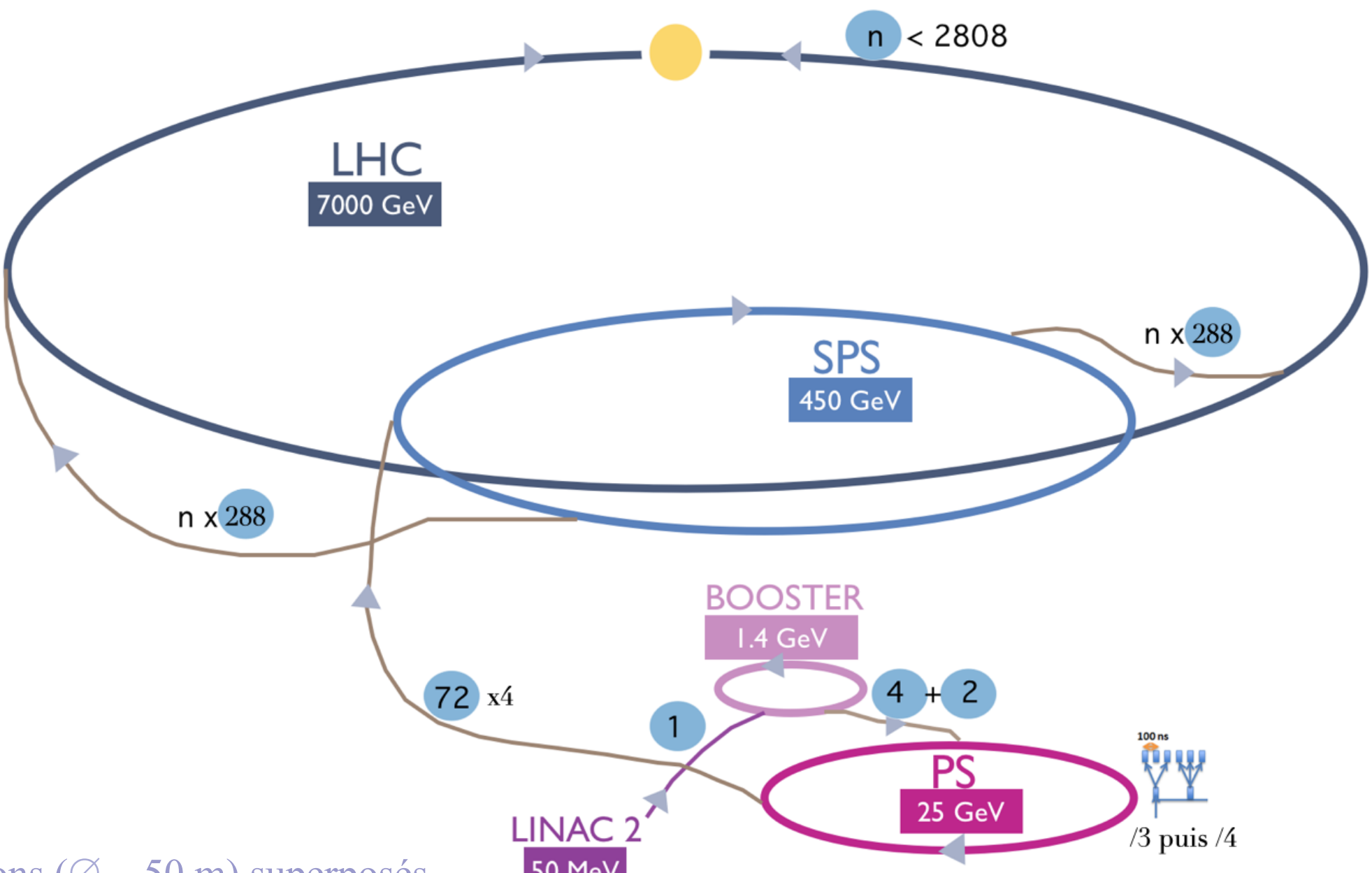


► p [proton] ► ion ► neutrons ►  $\bar{p}$  [antiproton] —► proton/antiproton conversion ► neutrinos ► electron

LHC Large Hadron Collider SPS Super Proton Synchrotron PS Proton Synchrotron

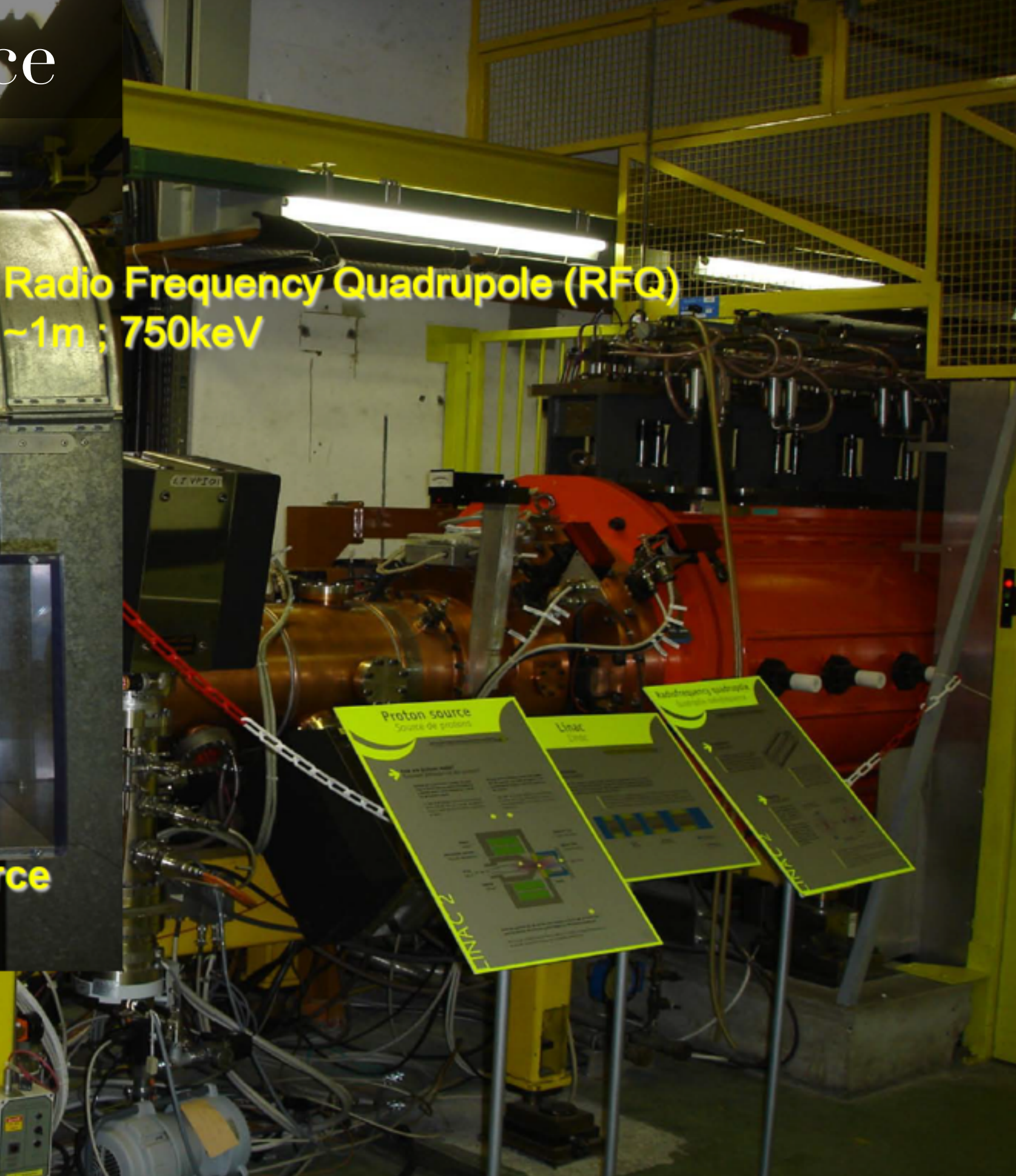
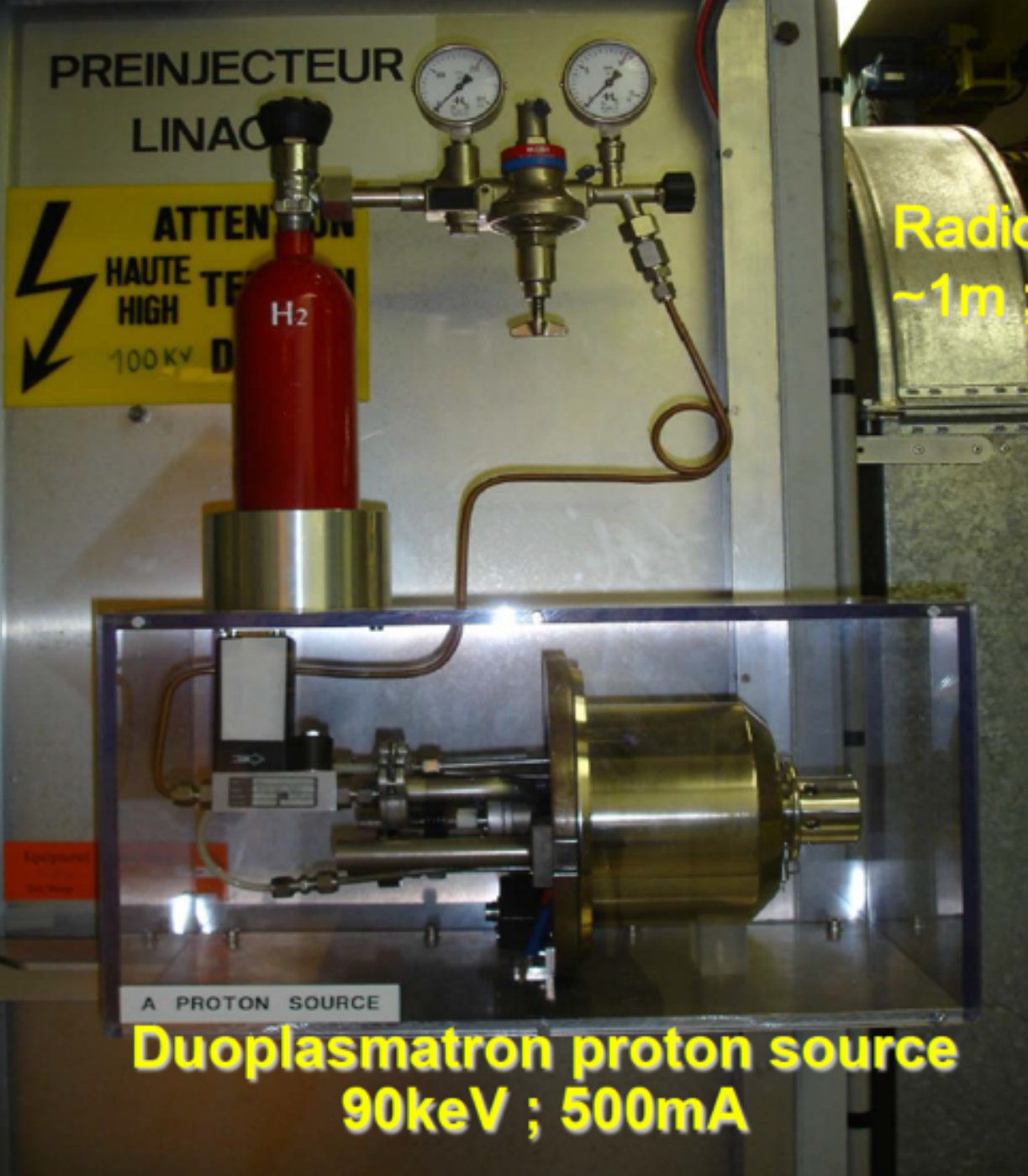
AD Antiproton Decelerator CTF3 Clic Test Facility CNGS Cern Neutrinos to Gran Sasso ISOLDE Isotope Separator OnLine DEvice  
LEIR Low Energy Ion Ring LINAC LInear ACcelerator n-ToF Neutrons Time Of Flight

# Circuit des p jusqu'au LHC

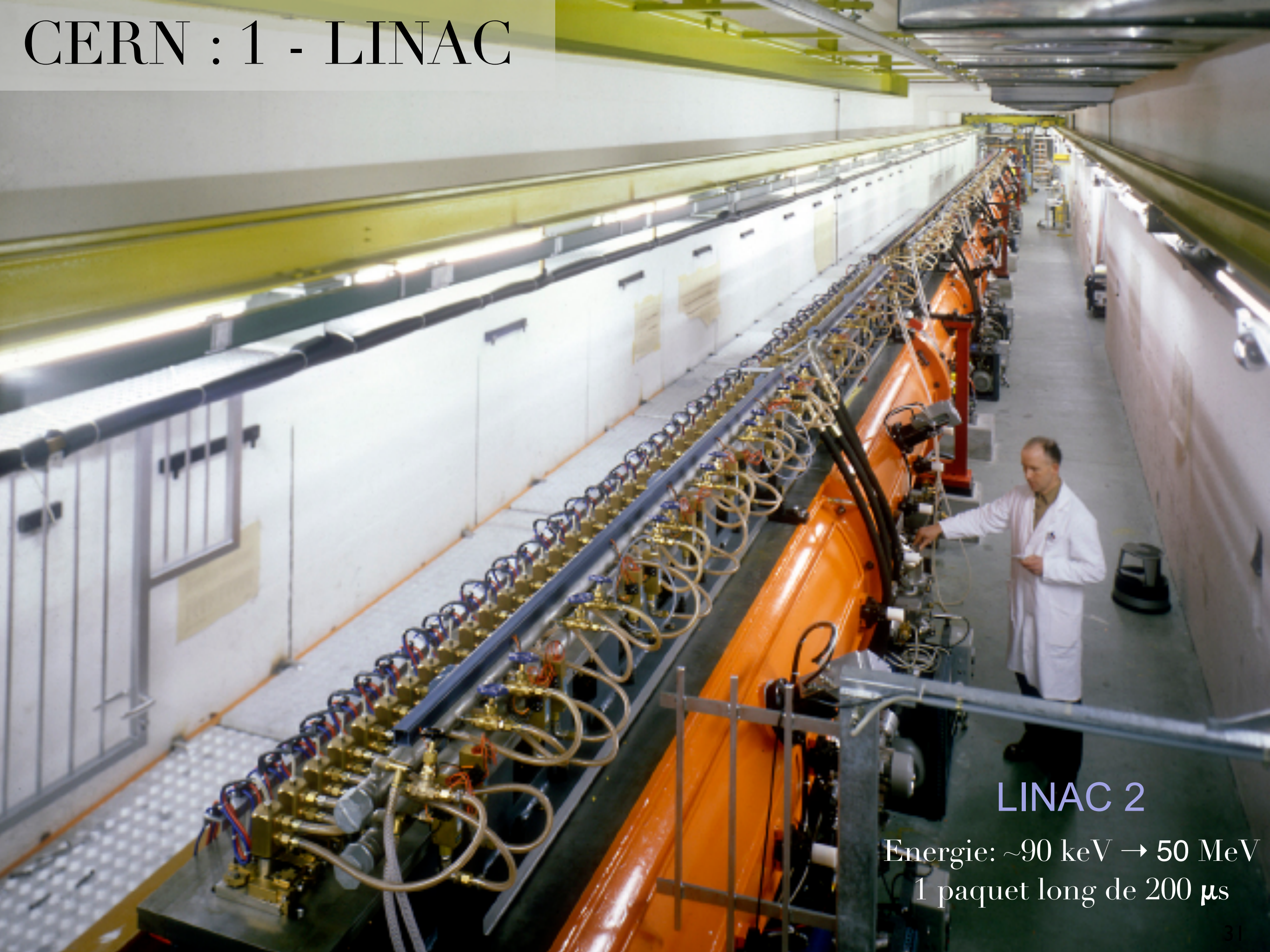


1. LINAC2:  $H^+ \rightarrow 50 \text{ MeV}$
2. BOOSTER : 4 Synchrotrons ( $\varnothing \sim 50 \text{ m}$ ) superposés  
accumulate  $p$  et accélérer  $\rightarrow 1.4 \text{ GeV}$
3. PS : Synchrotron ( $\varnothing \sim 200 \text{ m}$ )  $\rightarrow 28 \text{ GeV}$
4. SPS : Synchrotron ( $\varnothing \sim 2200 \text{ m}$ )  $\rightarrow 450 \text{ GeV}$   
(Ancien collisionneur  $p\bar{p}$  ( $\sqrt{s} = 540 \text{ GeV}$ )  $L \leq 10^{31} \text{ cm}^{-2} \text{ s}^{-1}$ )
5. LHC: Synchrotron ( $\varnothing \sim 6200 \text{ m}$ )  
Collisionneur  $pp$  ( $\sqrt{s} = 8 \text{ TeV} \rightarrow 14 \text{ TeV} (2015?)$   $L \leq 10^{34} \text{ cm}^{-2} \text{ s}^{-1}$ )  
Collisionneur  $Pb^+Pb^+$   $2.75 \text{ TeV/nucléon}$

# CERN : 0 - source



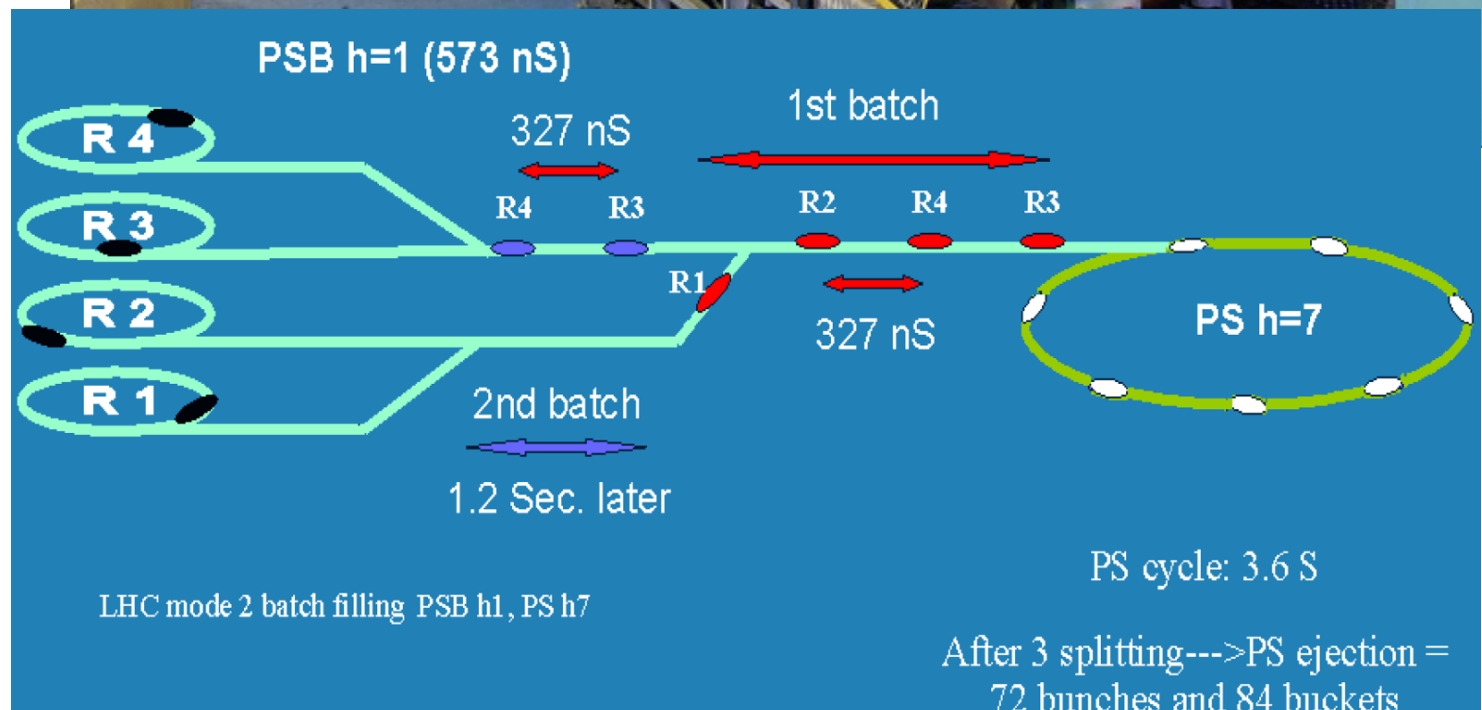
# CERN : 1 - LINAC



LINAC 2

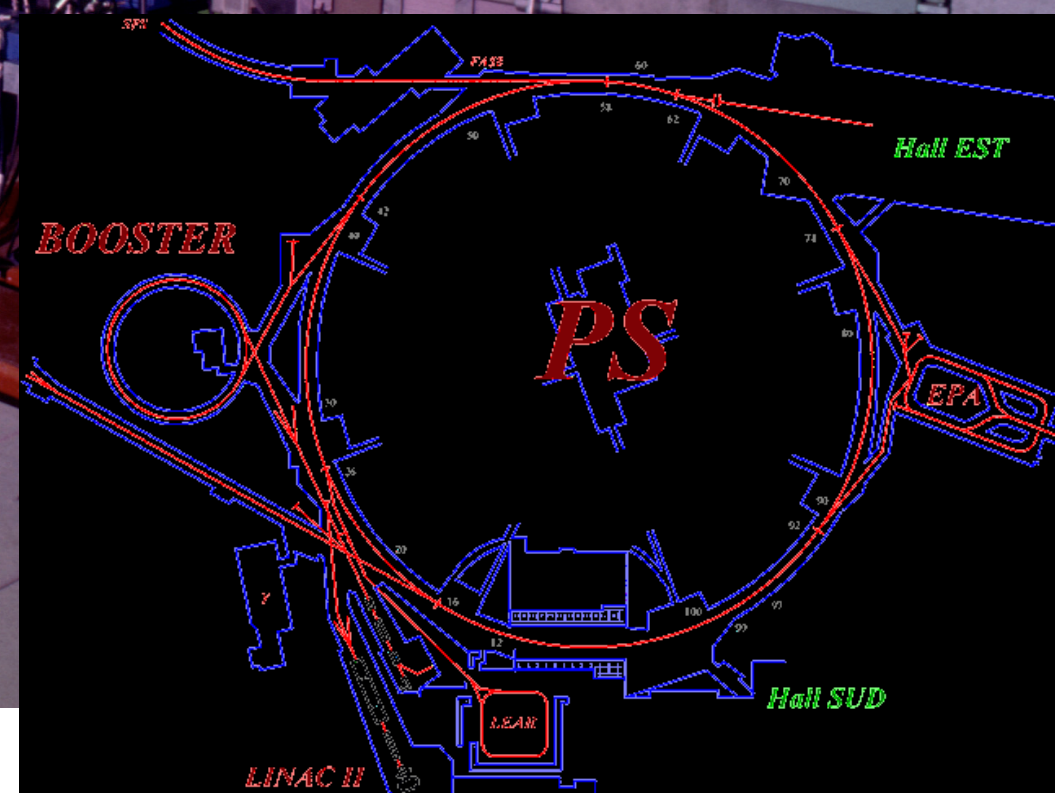
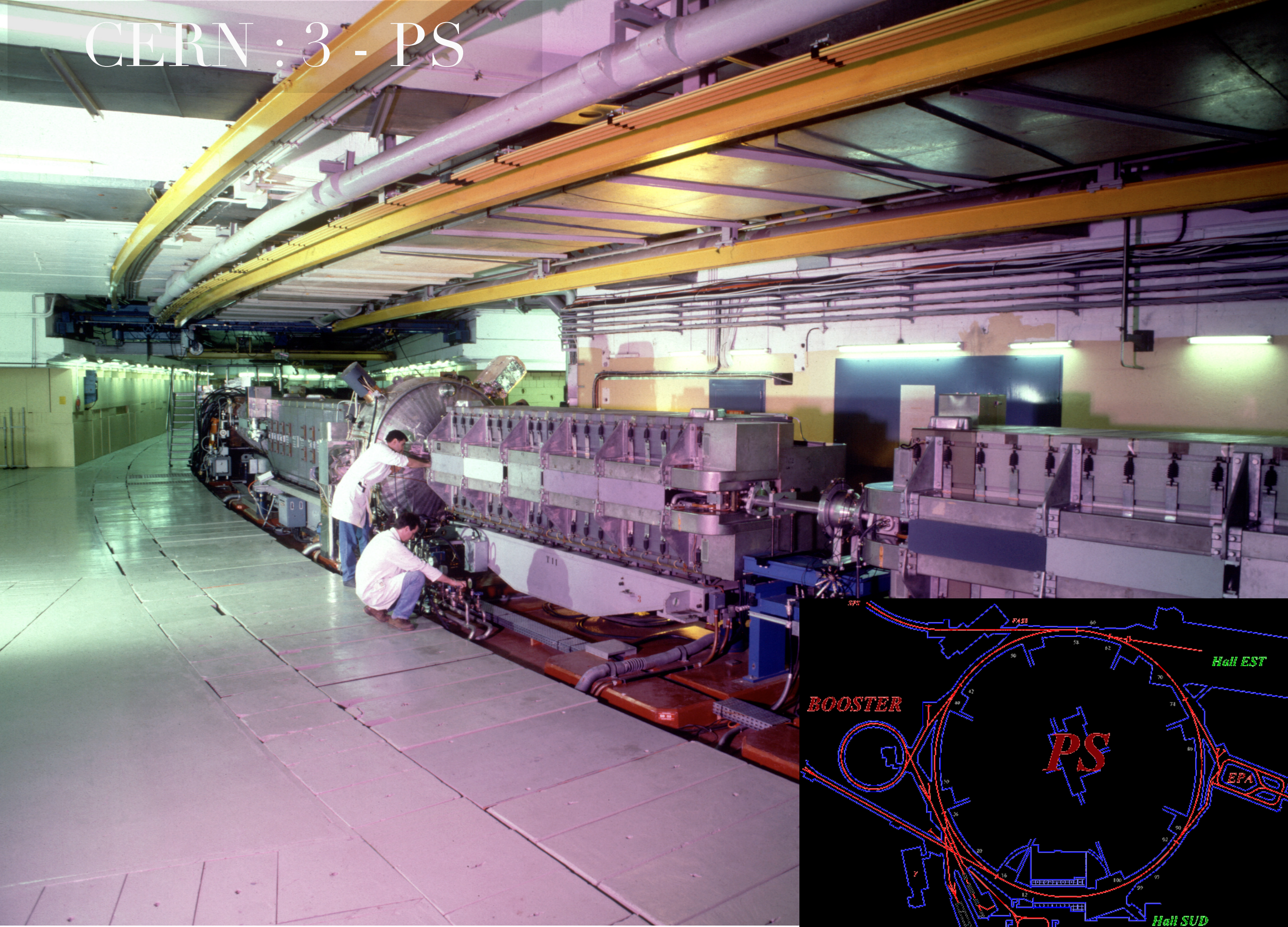
Energie:  $\sim 90 \text{ keV} \rightarrow 50 \text{ MeV}$   
1 paquet long de  $200 \mu\text{s}$

# CERN : 2 - Booster PSB

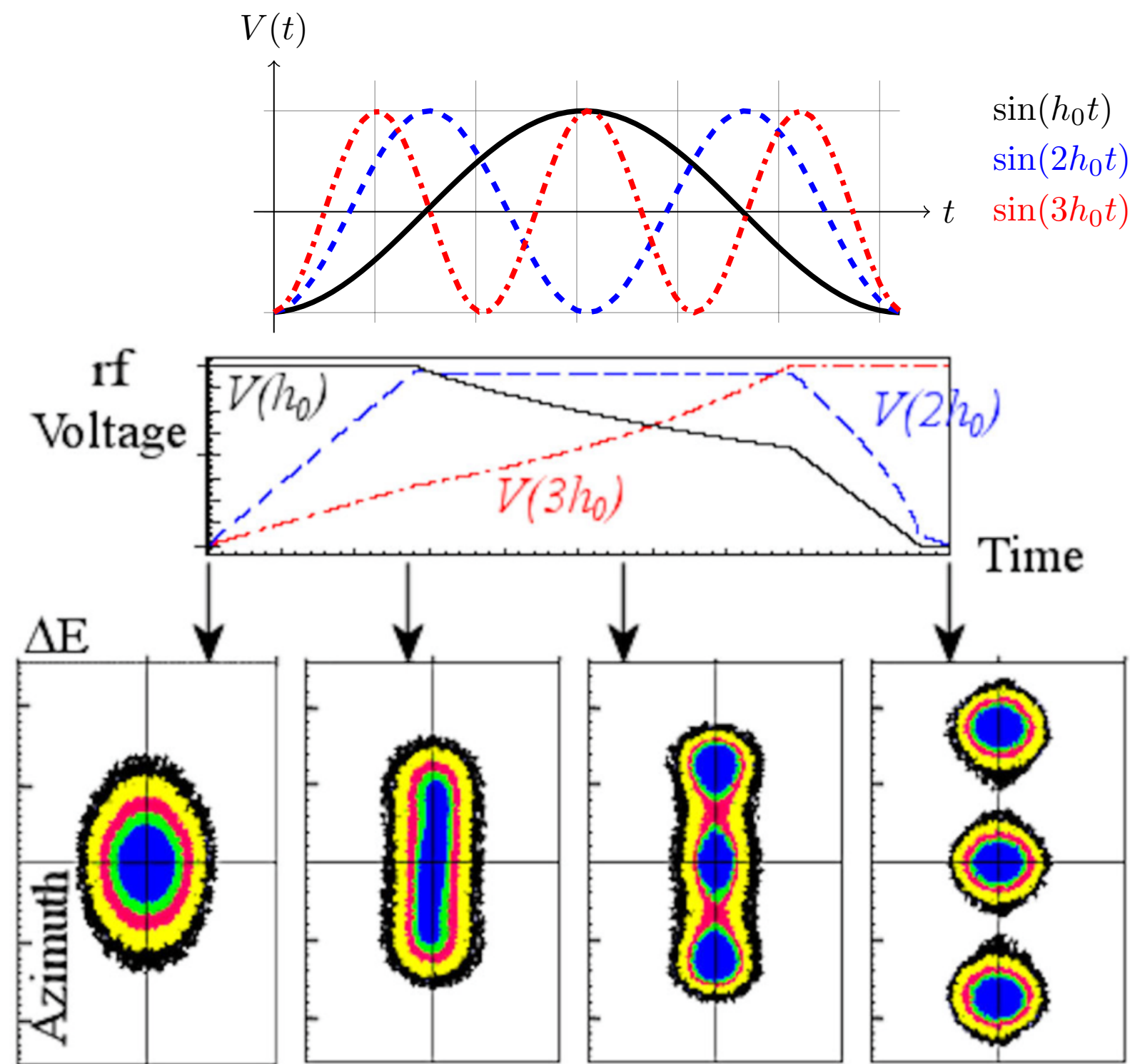


Energie:  $0.05 \rightarrow 1.4$  GeV  
4+2 paquets

# CERN : 3 - PS

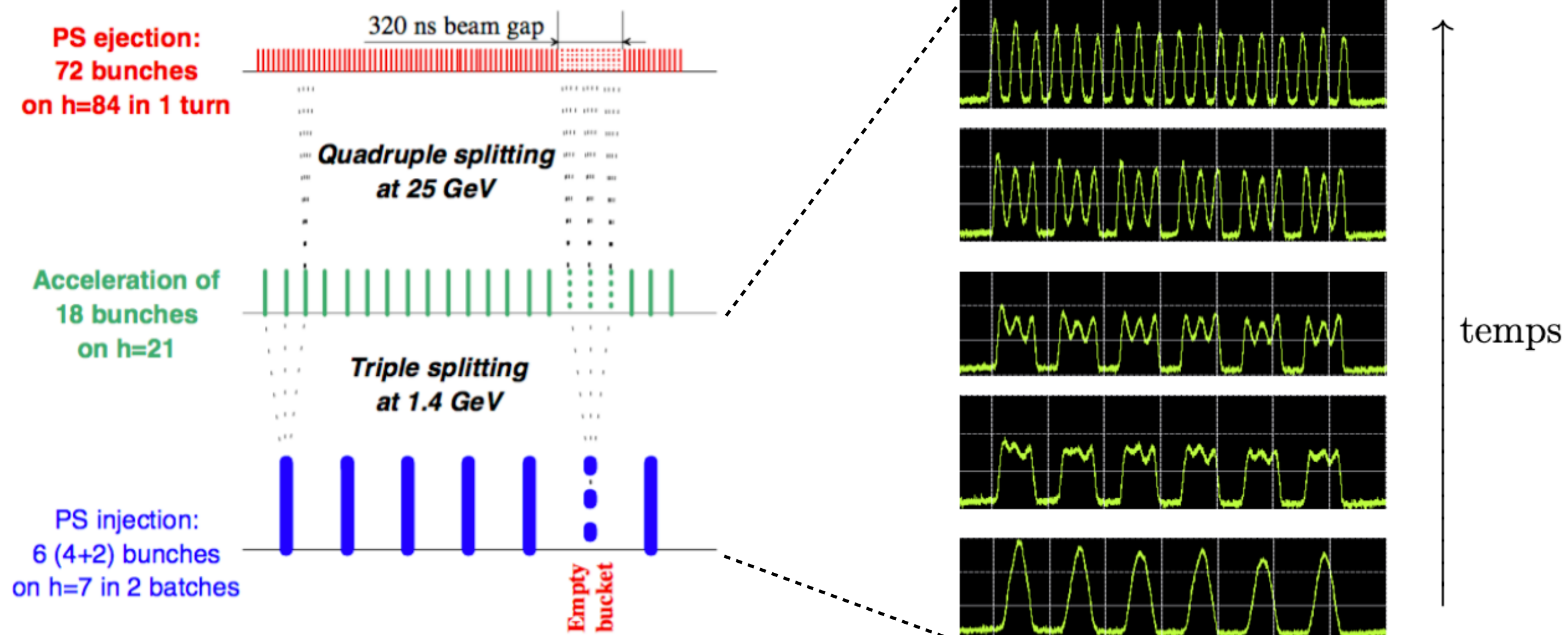


# CERN : 3 - PS - séparation des paquets



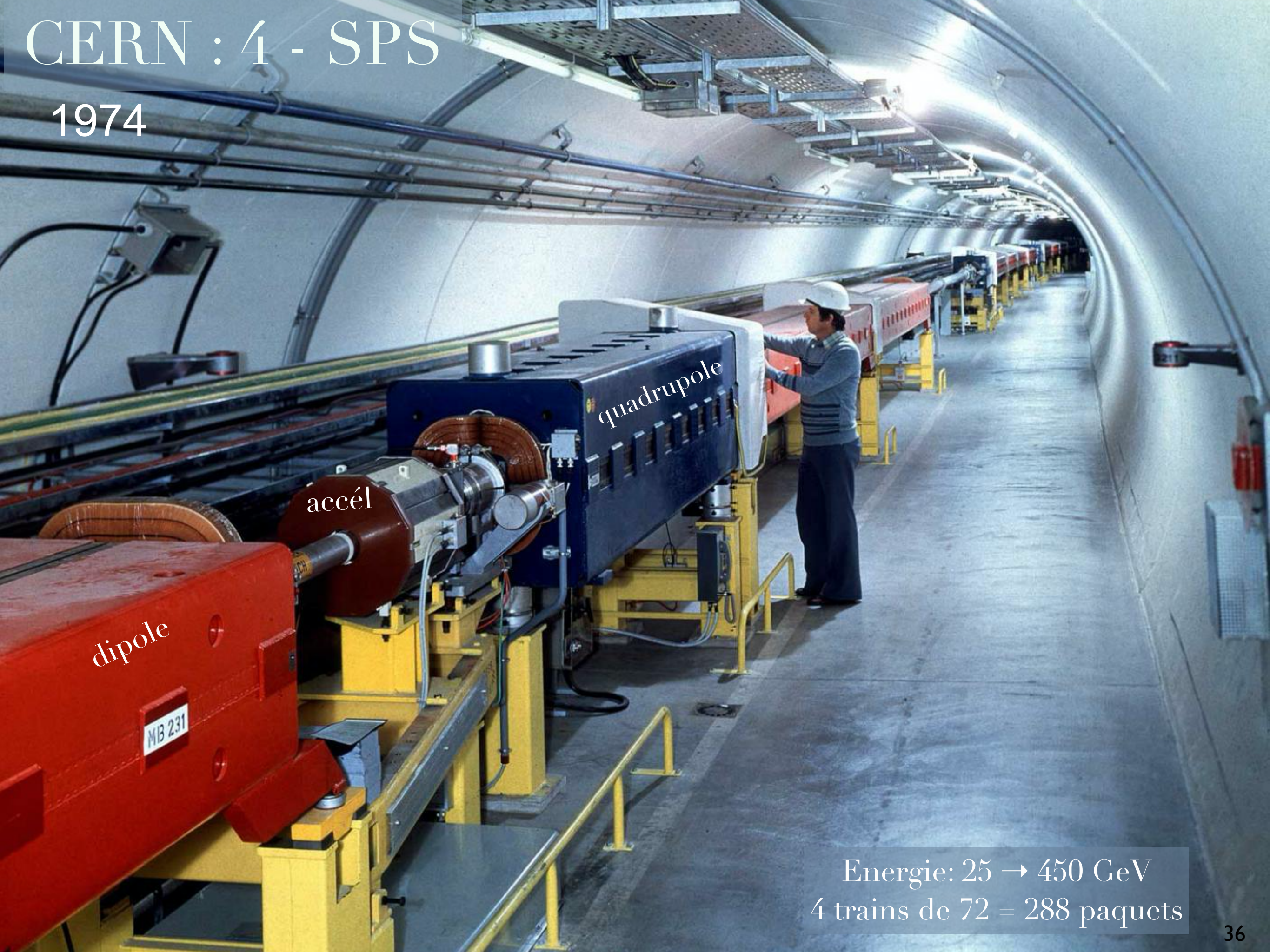
à 1.4 GeV : séparation des (6+1 vide) paquets en 3

# CERN : 4 - PS - séparation des paquets



# CERN : 4 - SPS

1974



Energie:  $25 \rightarrow 450$  GeV  
4 trains de 72 = 288 paquets

# CERN : 5 - LHC

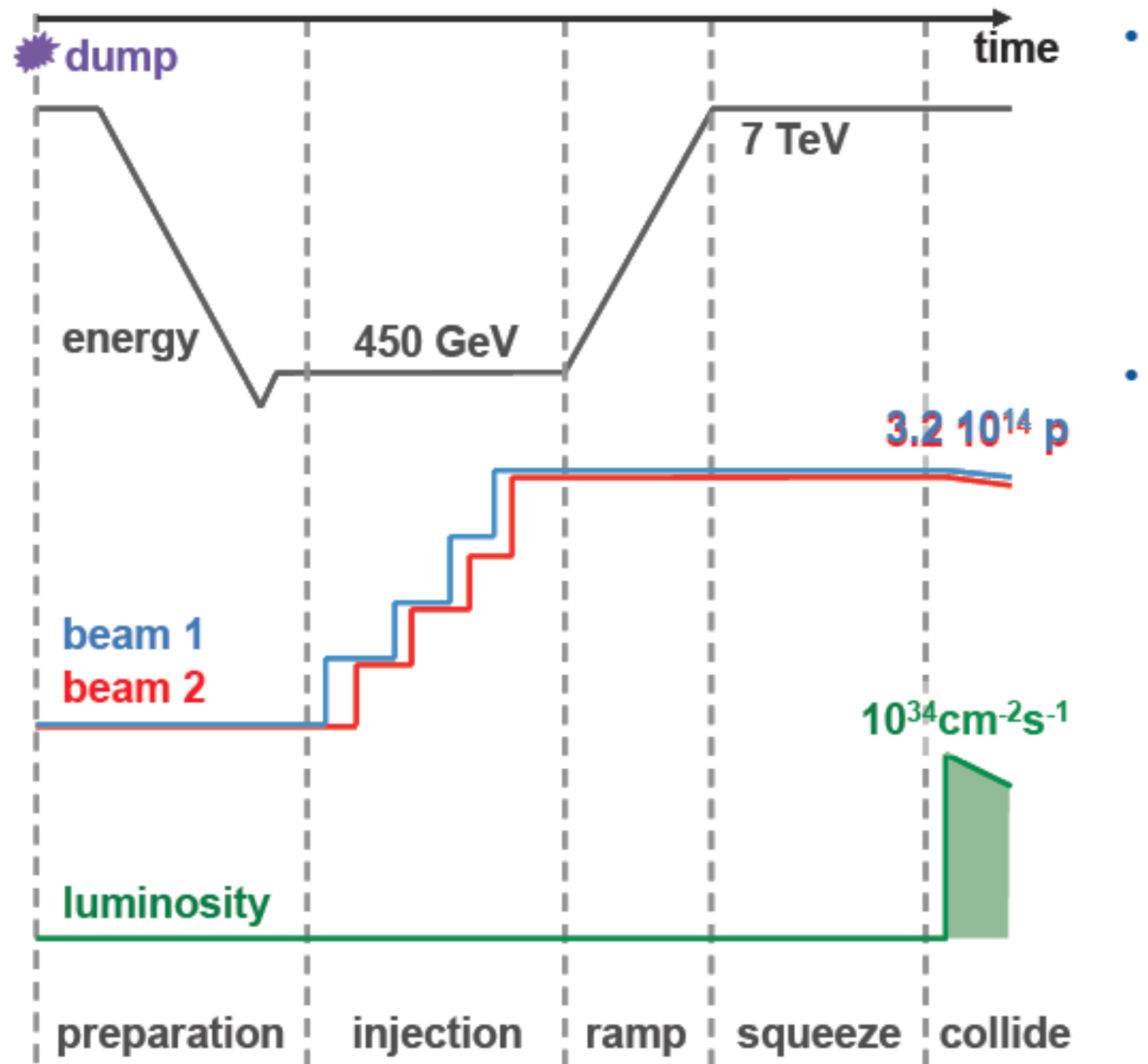


Energie:  $450 \rightarrow 7000 \text{ GeV}$   
 $n \times 288 \rightarrow 2 \times 2808 \text{ paquets}$

1232 dipoles -  $B_z=8.3 \text{ Tesla}$   
16 cavités RF à  $400 \text{ MHz}, 5 \text{ MV/m}$

# LHC : remplissage et accélération

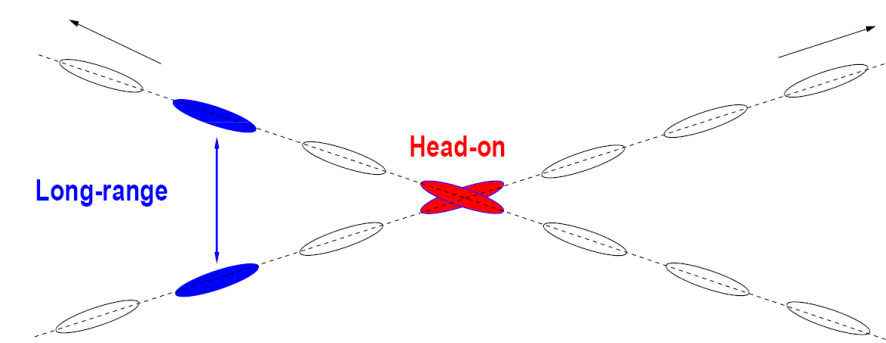
2012	typ. time
prep	>50 min.
inj	~60 min.
ramp	~15 min.
squ.	~20 min.
coll.	0-20 h



# LHC : paramètres

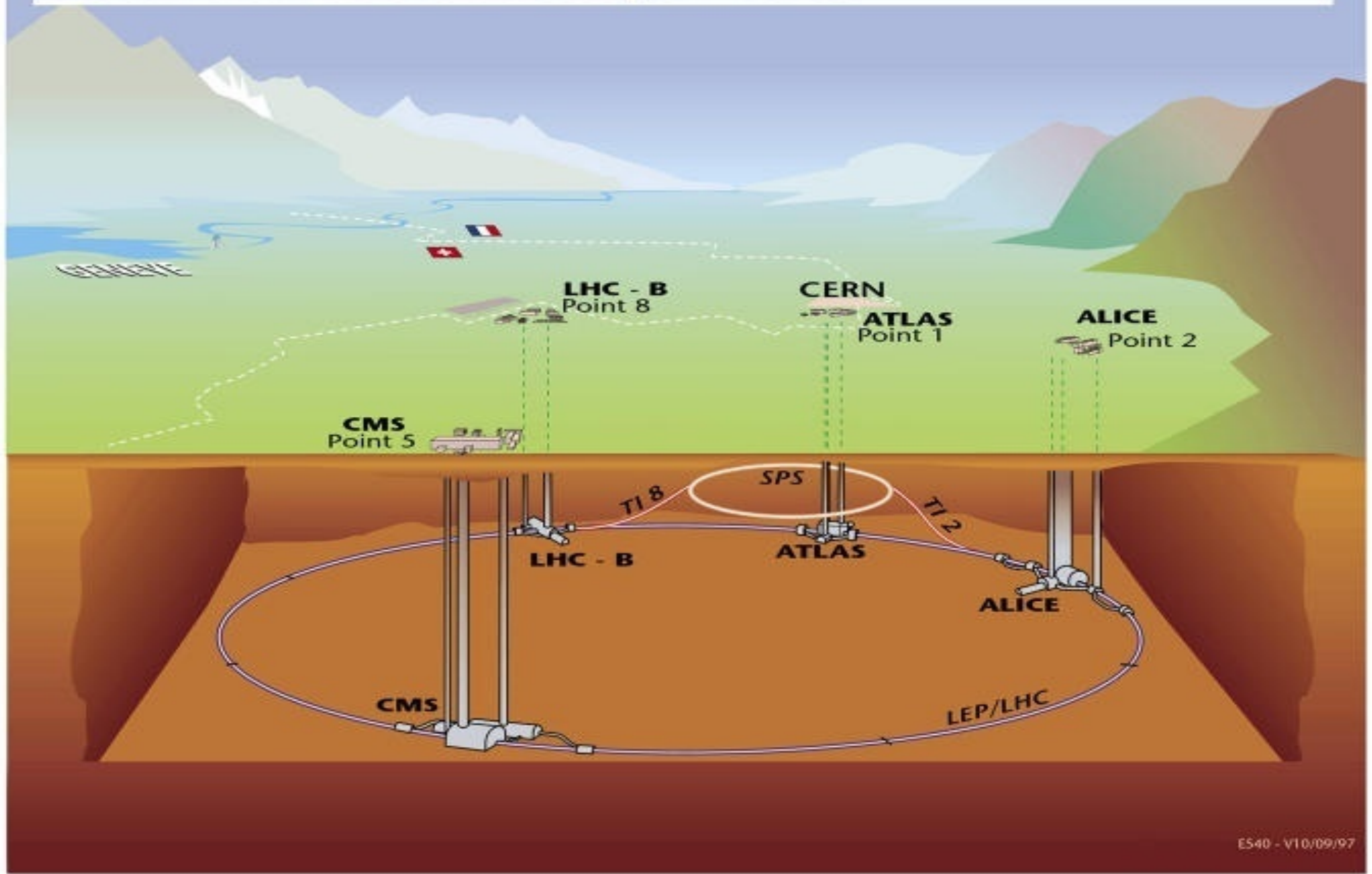
Parameter	Nominal
beam energy [TeV]	7.0
bunch spacing [ns]	25
k [no. bunches]	2808
$N_b$ [ $10^{11}$ p/bunch]	1.15
$\epsilon$ [mm mrad]	3.75
$\beta^*$ [m]	0.55
half crossing angle [ $\mu\text{rad}$ ]	142.5
L reduction factor	$\sim 0.84$
$L$ [ $\text{cm}^{-2}\text{s}^{-1}$ ]	$10^{34}$

LHC
$\beta^* = 18 \rightarrow 0.55 \text{ m}$
$\epsilon = 3.75 \mu\text{m}$
$\gamma = 7463$
$\sigma_{x,y} = 16.6 \mu\text{m}$



collisions non purement frontales

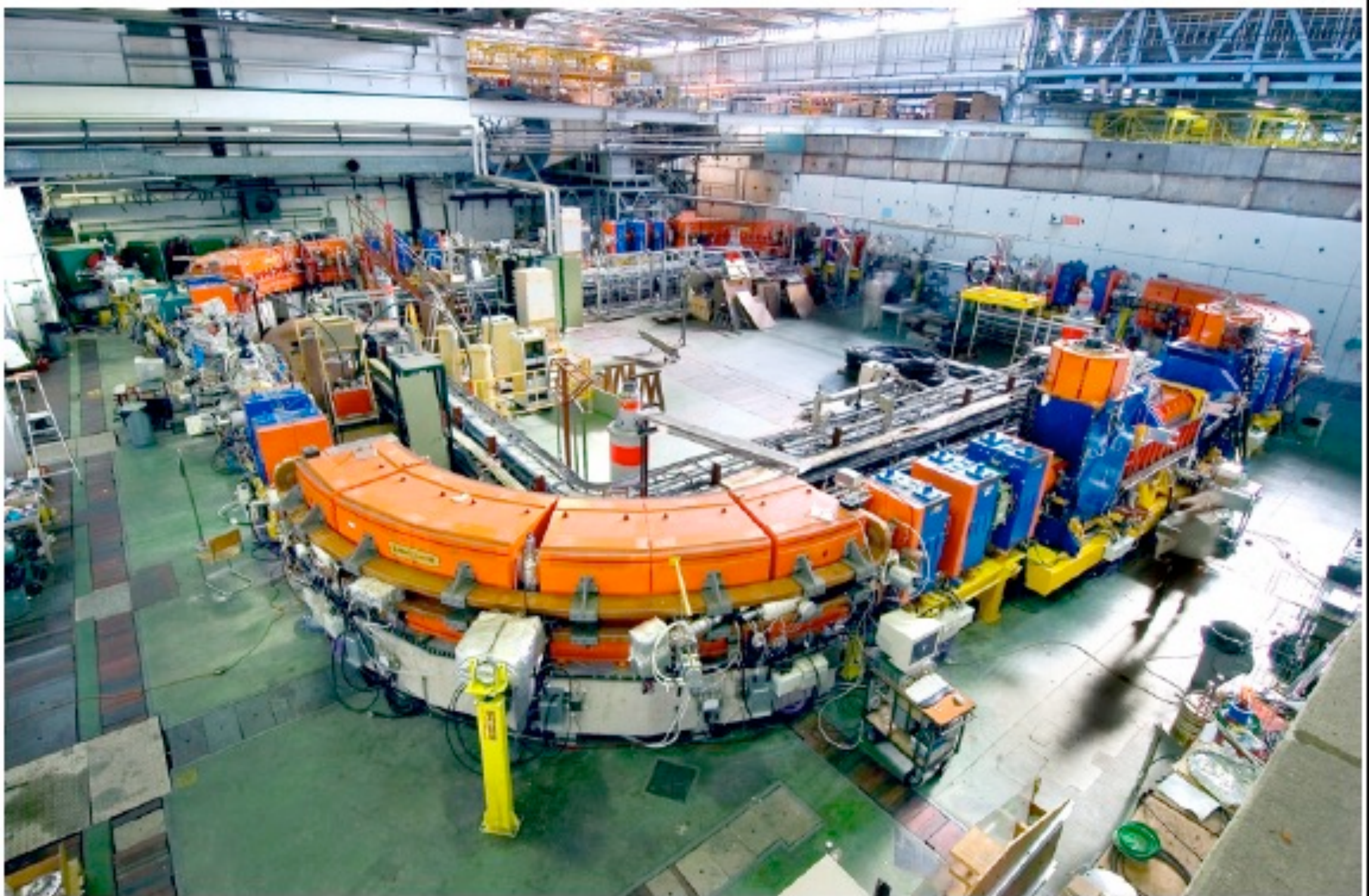
## Overall view of the LHC experiments.



ES40 - V10/09/97

# Animation CERN - LHC

# Synchrotron : LEIR

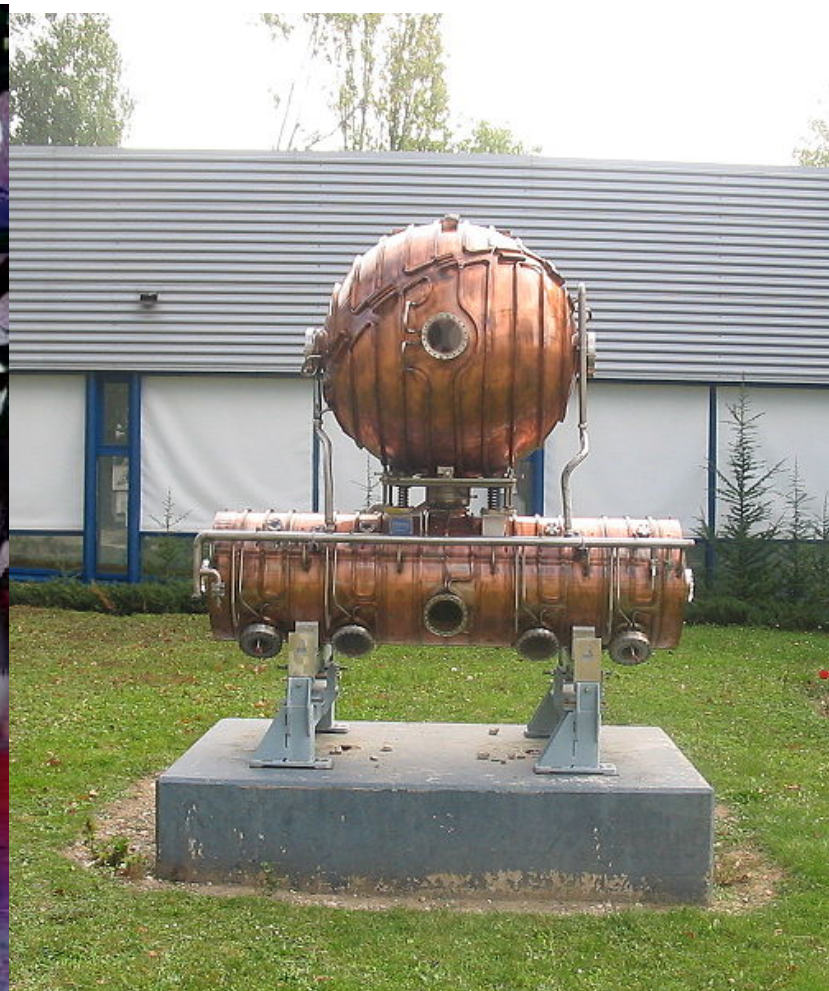
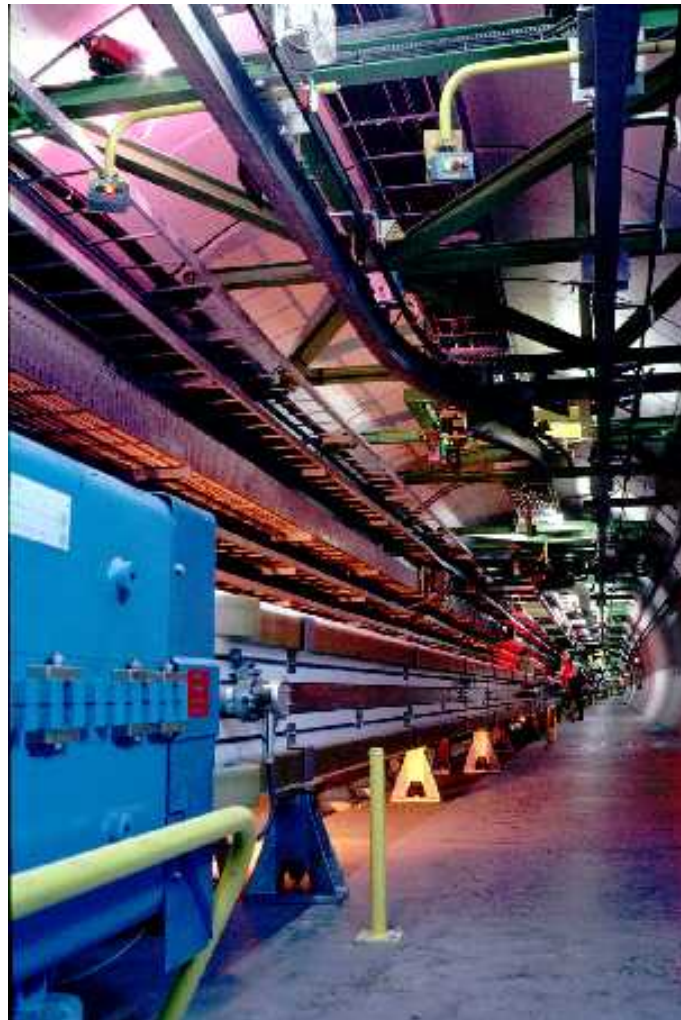


LEIR: Low Energy Ion Ring - CERN

# Principaux collisionneurs

	<b>Energy (GeV)</b>	$\mathcal{L}_{max}$ $\text{cm}^{-2}\text{s}^{-1}$	<b>rate</b> $\text{s}^{-1}$	$\sigma_x/\sigma_y$ $\mu\text{m}/\mu\text{m}$	<b>Particles per bunch</b>
SPS (p $\bar{p}$ )	<b>315x315</b>	<b>6 <math>10^{30}</math></b>	<b>4 <math>10^5</math></b>	<b>60/30</b>	$\approx 10 \ 10^{10}$
Tevatron (p $\bar{p}$ )	<b>1000x1000</b>	<b>100 <math>10^{30}</math></b>	<b>7 <math>10^6</math></b>	<b>30/30</b>	$\approx 30/8 \ 10^{10}$
HERA (e $^+$ p)	<b>30x920</b>	<b>40 <math>10^{30}</math></b>	<b>40</b>	<b>250/50</b>	$\approx 3/7 \ 10^{10}$
LHC (pp)	<b>7000x7000</b>	<b>10000 <math>10^{30}</math></b>	<b><math>10^9</math></b>	<b>17/17</b>	$\approx 11 \ 10^{10}$
LEP (e $^+$ e $^-$ )	<b>105x105</b>	<b>100 <math>10^{30}</math></b>	$\leq 1$	<b>200/2</b>	$\approx 50 \ 10^{10}$
PEP (e $^+$ e $^-$ )	<b>9x3</b>	<b>8000 <math>10^{30}</math></b>	<b>NA</b>	<b>150/5</b>	$\approx 2/6 \ 10^{10}$

# Collisionneurs : LEP ( $e^+e^-$ )



$$f \sim 10^4 \text{ s}^{-1}$$

$$N_b = 4$$

$$N_1, N_2 = 2 \cdot 10^{10}$$

$$\sigma_{x,y} = 200 \text{ } \mu\text{m}, 8 \text{ } \mu\text{m}$$

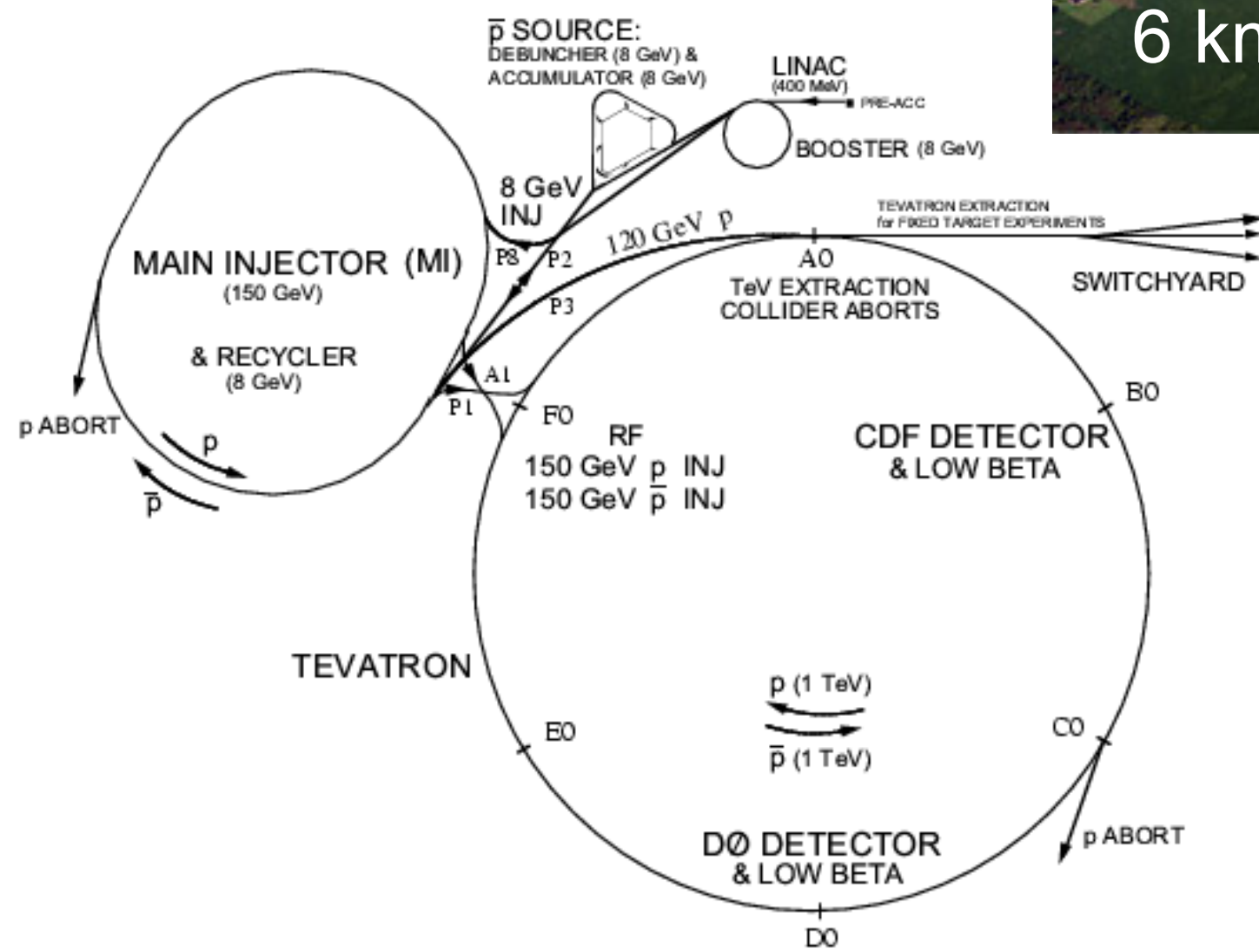
$$\rightarrow L \sim 10^{32} \text{ cm}^{-2} \text{ s}^{-1}$$

LEP (1989-2001) - CERN

# Collisionneurs p- $\bar{p}$ : TeVatron

FermiLab (Chicago)

$$\sqrt{s_{pp}} = 1.96 \text{ TeV}$$

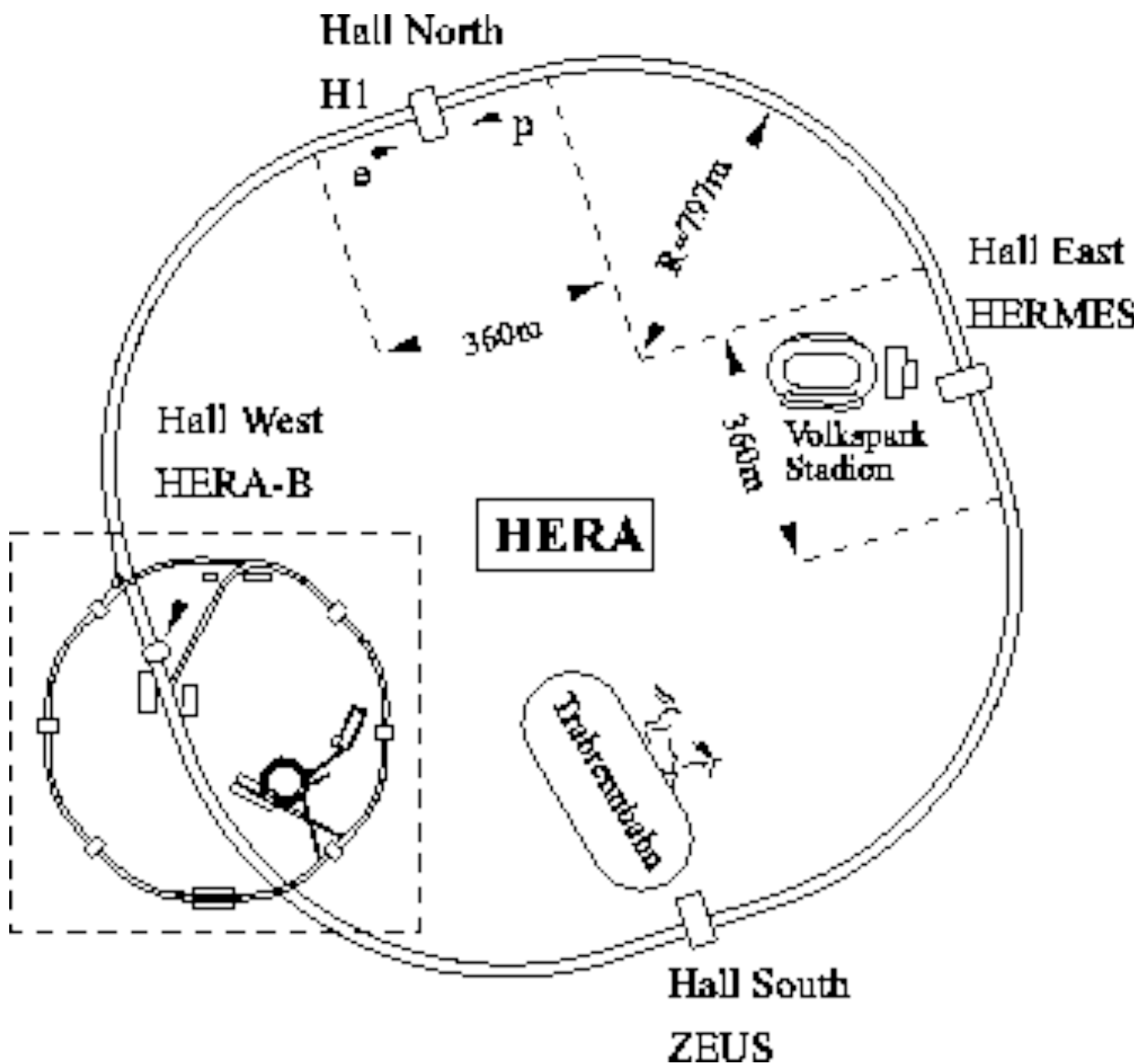


arrêté en 2011

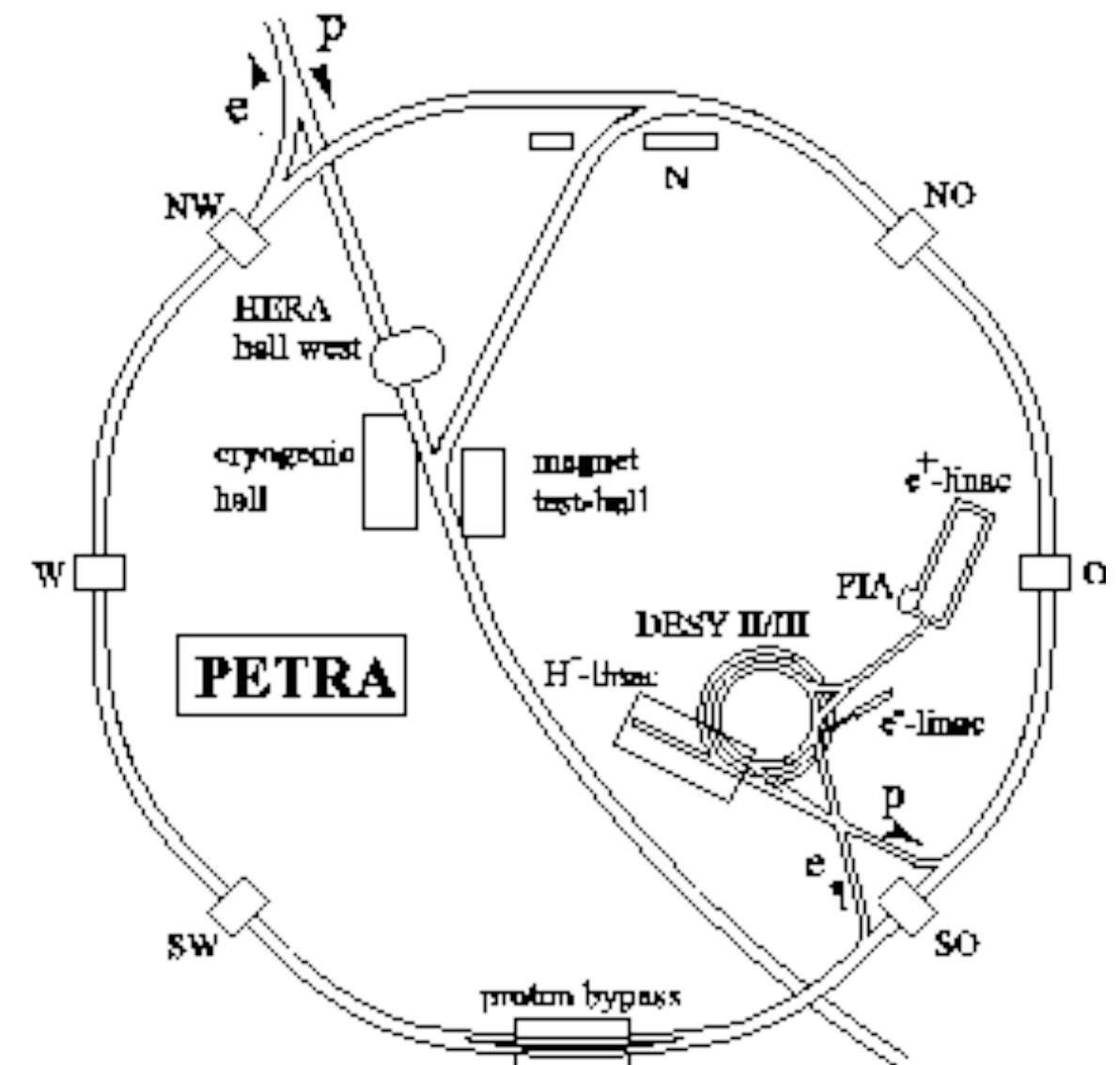
# Collisionneurs e-p HERA

DESY (Hambourg)

$E_e = 37 \text{ GeV}$  -  $E_p = 920 \text{ GeV}$



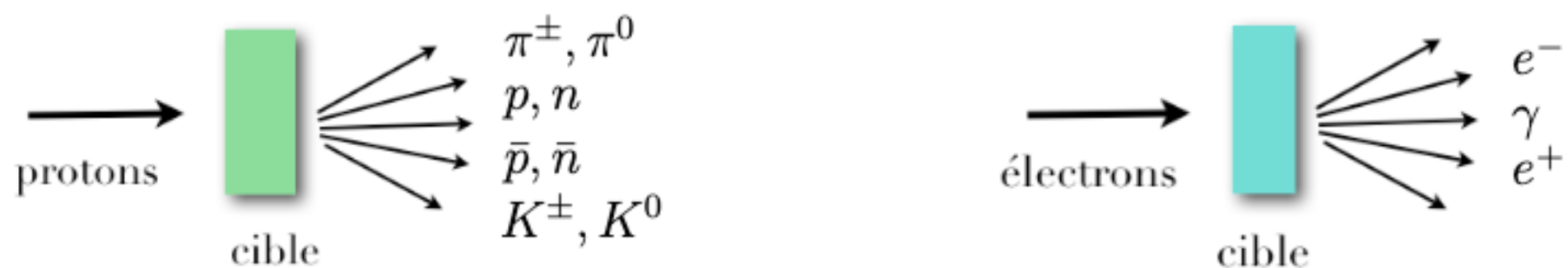
premier faisceau de  $p$  supraconducteur



fonctionnement 1992-2007

# Faisceaux secondaires

Sources secondaires :

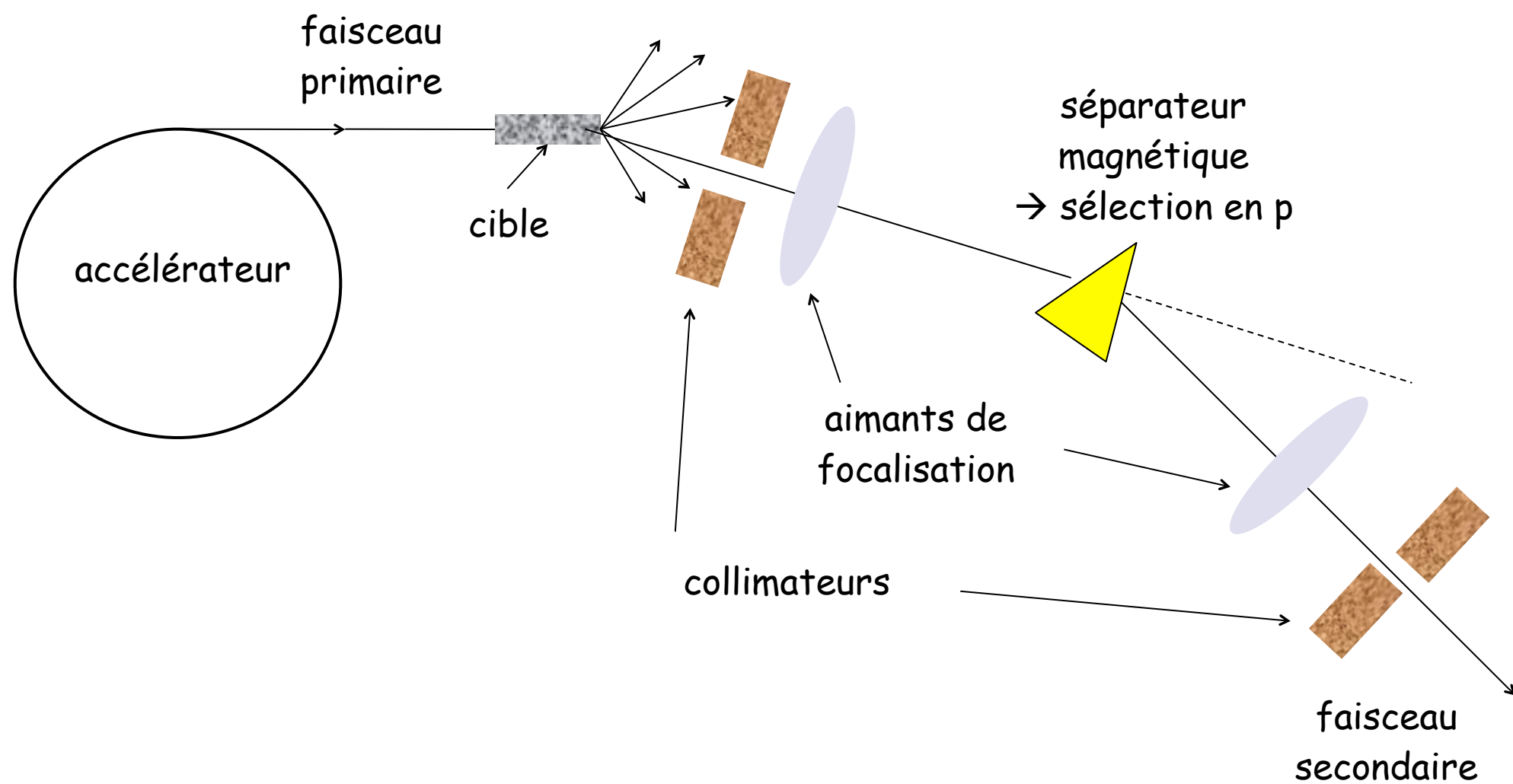


plus loin de la cible, suivi de :  $K^+ \rightarrow \mu^+ + \nu_\mu$   
 $\pi^+ \rightarrow \mu^+ + \nu_\mu$

# Faisceaux secondaires

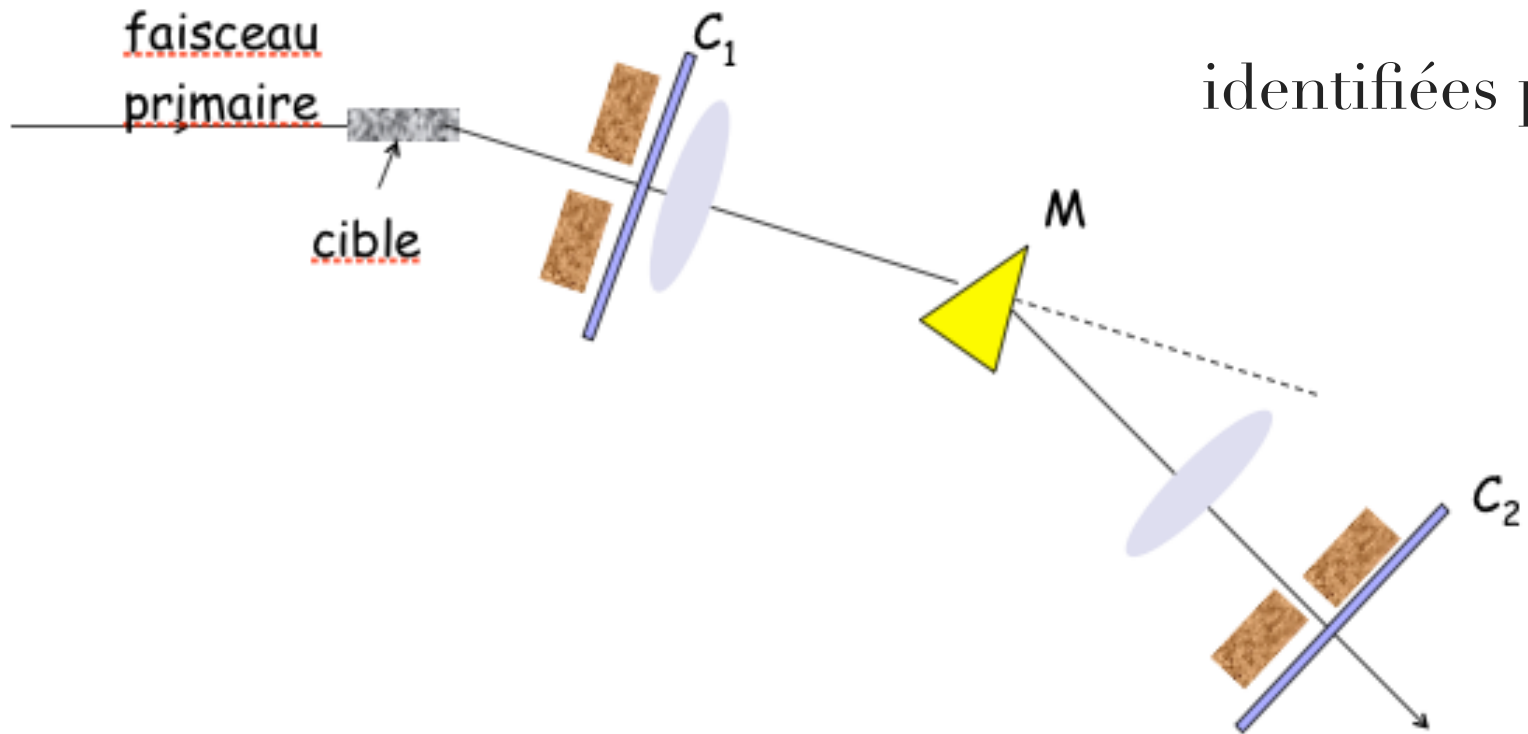
## Particules chargées

focalisé et sélectionnées en p: aimants collimateurs



(dessin pas à l'échelle)

# Faisceaux secondaires

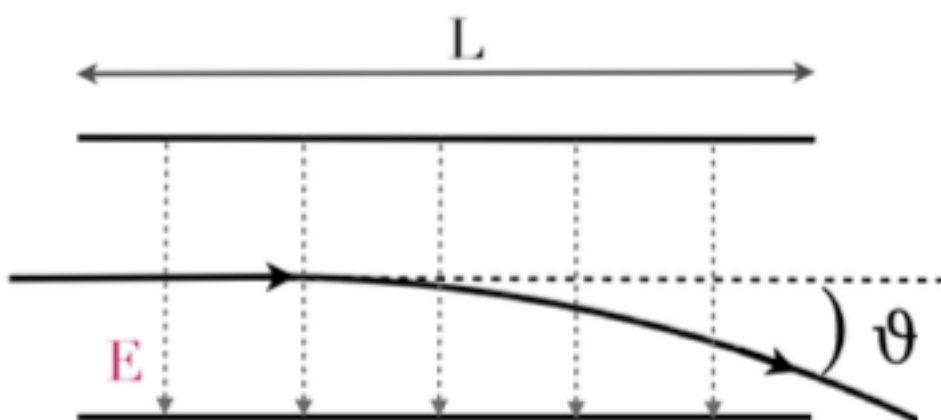


identifiées par leur temps de vol

$$t = \frac{d}{v} = \frac{d}{c\beta} \simeq \frac{dE}{cp} = \frac{d\sqrt{m^2 + p^2}}{cp}$$

⇒ information sur la masse

sélection en impulsion :



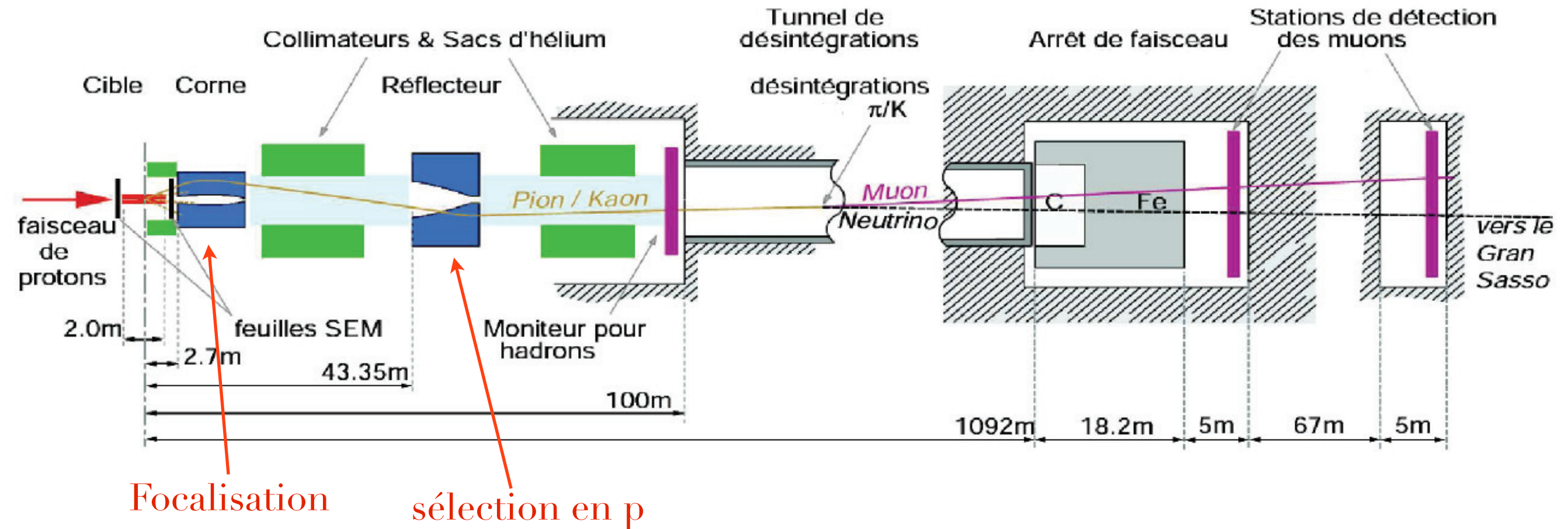
$$\theta \simeq \frac{p_T}{p} = \frac{\int qEdt}{p} = \frac{1}{v} \frac{\int_0^L qEdl}{p} = \frac{qEL}{c\beta p}$$

$$p = 3 \text{ GeV/c}, L = 5 \text{ m et } E = 5 \cdot 10^6 \text{ V/m}$$

$$\Delta\theta = \theta_K - \theta_{\pi^\pm} = 0.1 \text{ mrad (soit environ } 0.005^\circ)$$

# Faisceaux secondaires : neutrinos

CERN → Gran Sasso



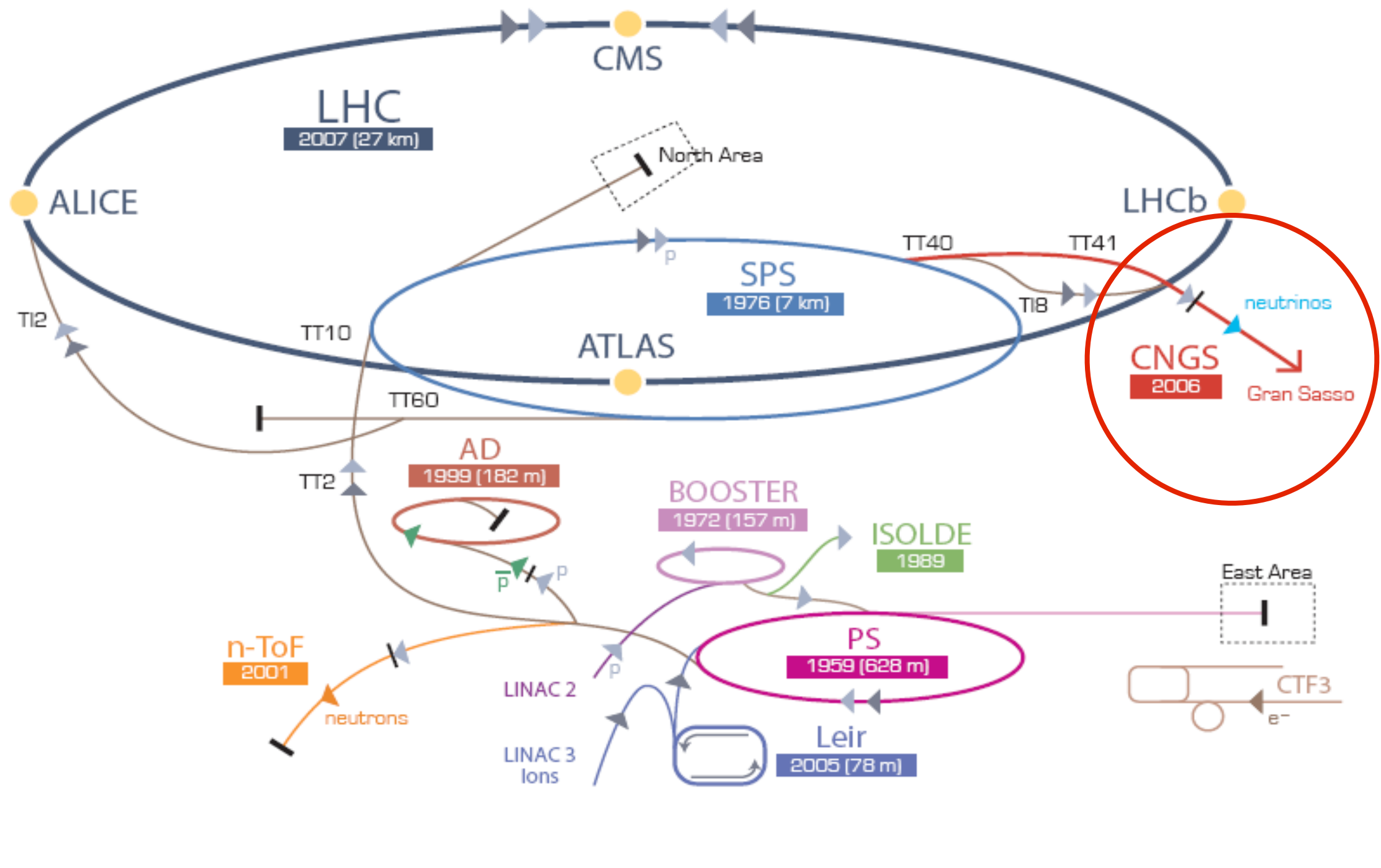
Production :

$$K^\pm \rightarrow \mu^\pm + \nu_\mu / \bar{\nu}_\mu \quad \sim 64\% \quad \pi^\pm \rightarrow \mu^\pm + \nu_\mu / \bar{\nu}_\mu \quad \sim 100\%$$

$$K^\pm \rightarrow \pi^0 + e^\pm + \bar{\nu}_e / \nu_e \quad \sim 5\% \quad \mu^\pm \rightarrow e^\pm + \nu_e / \bar{\nu}_e + \bar{\nu}_\mu / \nu_\mu \quad \sim 100\%$$

$$K^\pm \rightarrow \pi^0 + \mu^\pm + \nu_\mu / \bar{\nu}_\mu \quad \sim 3\%$$

# CERN: CNGS



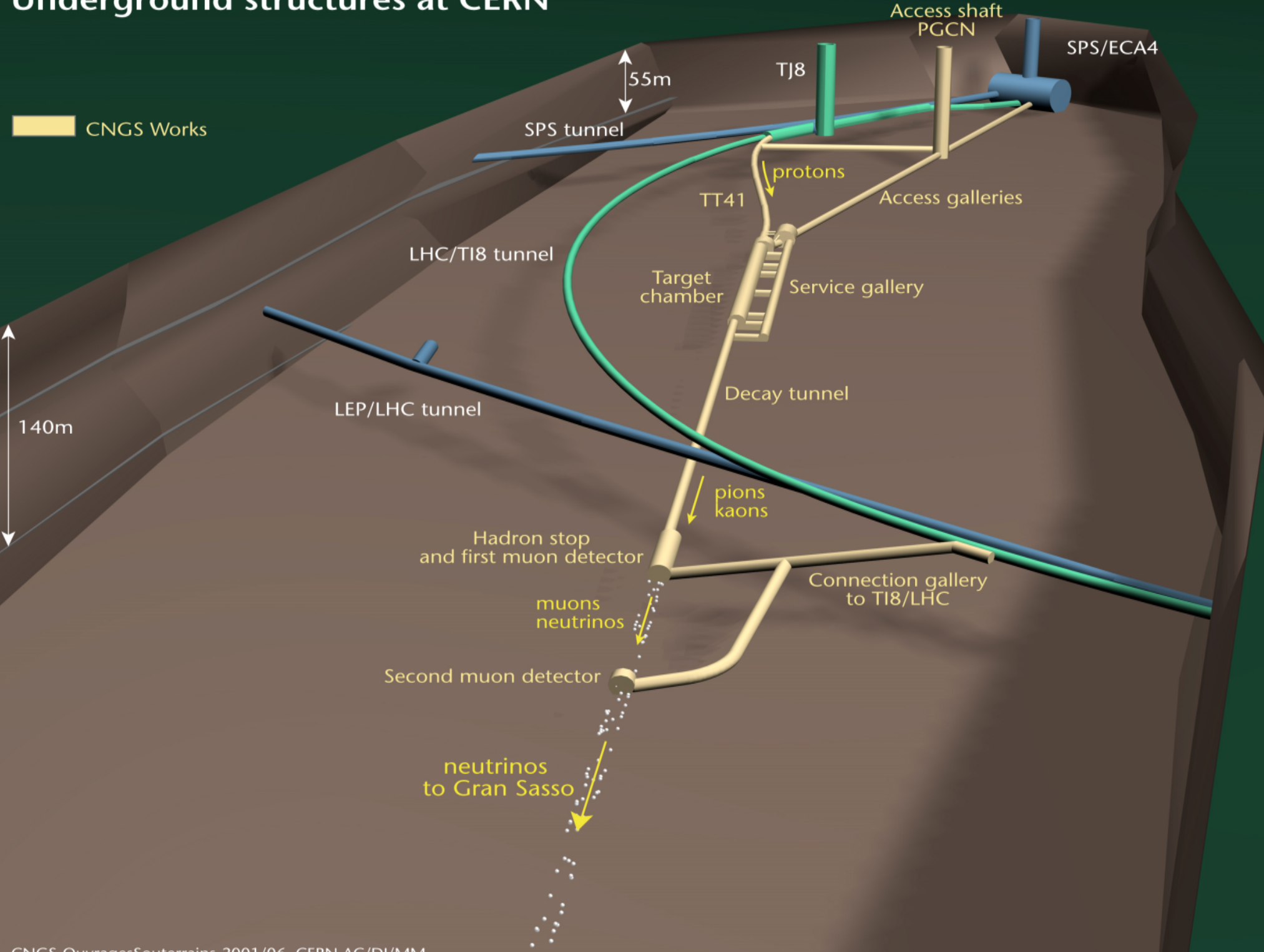
► p [proton] ► ion ► neutrons ►  $\bar{p}$  [antiproton] ► proton/antiproton conversion ► neutrinos ► electron

LHC Large Hadron Collider SPS Super Proton Synchrotron PS Proton Synchrotron

AD Antiproton Decelerator CTF3 Clic Test Facility CNGS Cern Neutrinos to Gran Sasso ISOLDE Isotope Separator OnLine DEvice  
LEIR Low Energy Ion Ring LINAC LINear ACcelerator n-ToF Neutrons Time Of Flight

# CERN: CNGS

## CERN NEUTRINOS TO GRAN SASSO Underground structures at CERN



# CERN: CNGS → LNGS

